

# Modele Bayesowskie w JAGS

Łukasz Czekaj



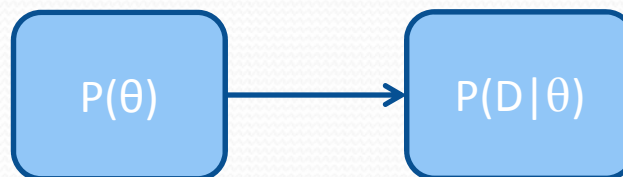
# Plan prezentacji

- Modelowanie Bayesowskie
- Zastosowania
- Metody matematyczne
- Narzędzia
- Ocena jakości modeli

# Modelowanie Bayesowskie

## Budowanie modelu

- Rozkłady apriori – hiperparametry
- Model generujący dane – prawdopodobieństwa warunkowe i struktura przyczynowa

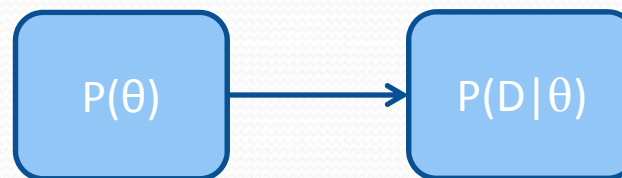




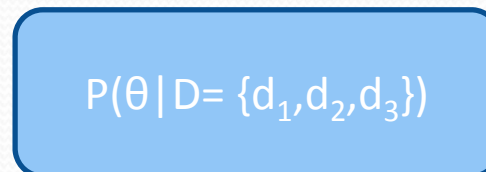
# Modelowanie Bayesowskie

## Budowanie modelu

- Rozkłady apriori – hiperparametry
- Model generujący dane – prawdopodobieństwa warunkowe i struktura przyczynowa



$D = \{d_1, d_2, d_3\}$



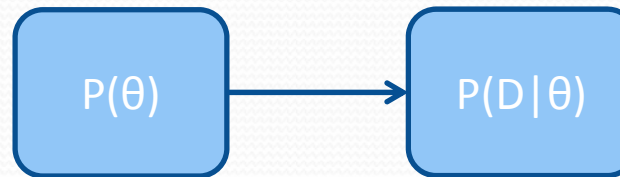
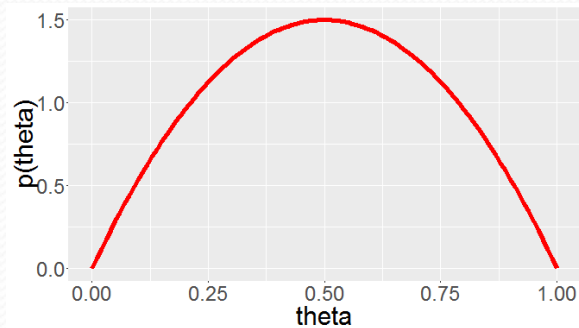
- Dane
- Rozkład aposteriori

# Modelowanie Bayesowski

## Twierdzenie Bayesa

$$p(\theta) = \text{beta}(2,2)$$

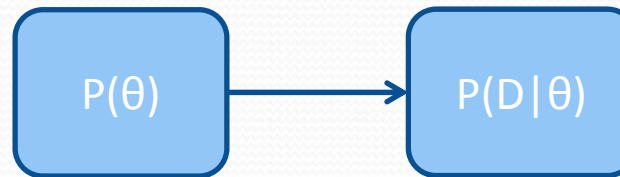
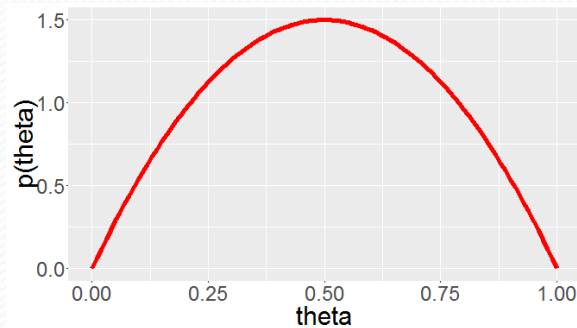
$$p(D=T|\theta) = \theta$$



Ip	D
1	H
2	H
3	H

# Modelowanie Bayesowski

## Twierdzenie Bayesa



lp	D
1	H
2	H
3	H

$$P(\theta | D) = p(D | \theta) p(\theta) / P(D)$$

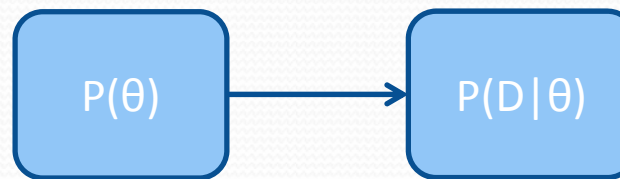
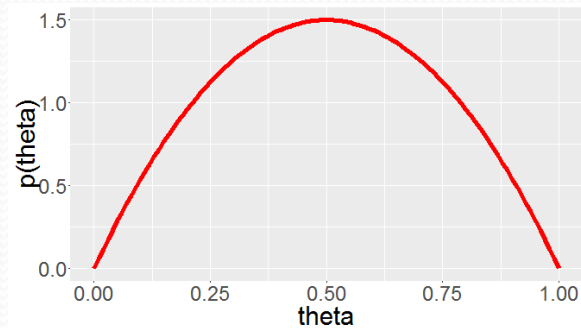
$$p(\theta | D_1 = H) \sim (1 - \theta) p(\theta) \\ \sim \text{beta}(2, 3)$$

$$p(\theta | D_1 = H, D_2 = H) \sim (1 - \theta) p(\theta | D_1 = H) \\ \sim (1 - \theta)^2 p(\theta) \\ \sim \text{beta}(2, 4)$$

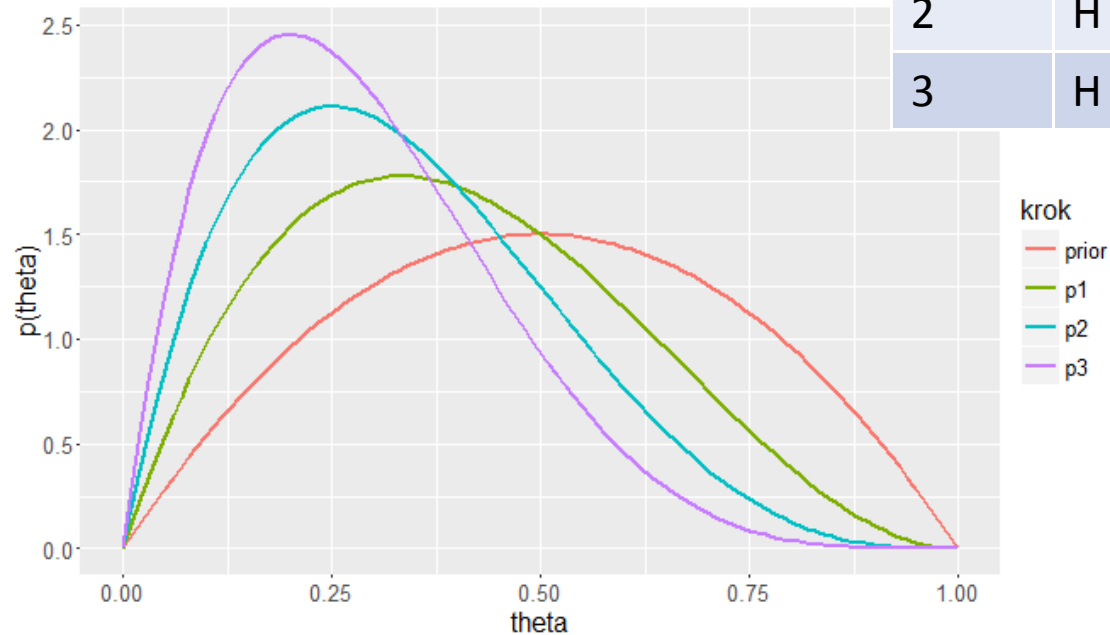


# Modelowanie Bayesowski

## Twierdzenie Bayesa



$I_p$	D
1	H
2	H
3	H



# Modelowanie Bayesowski

## Sieci Bayesowskie

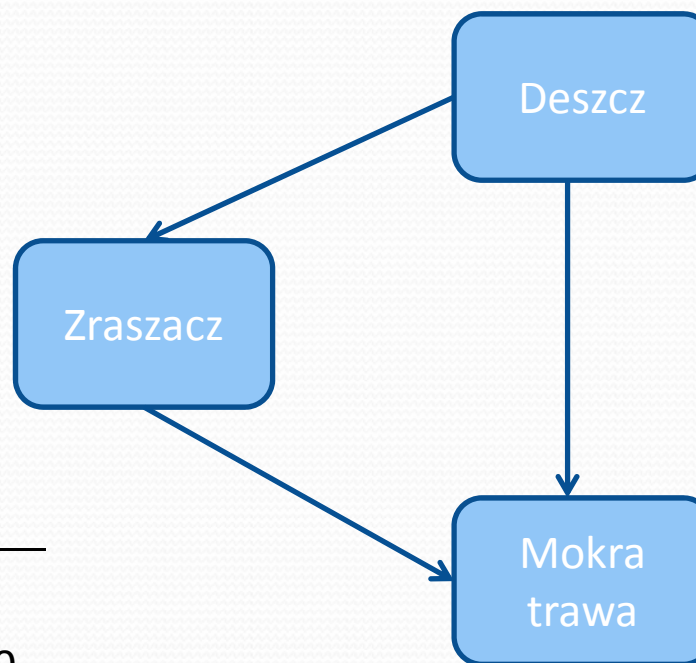
Lp	D	Z	MT
1	T	F	T
2	F	F	F
3	T	F	F
4	F	T	T



# Modelowanie Bayesowski

## Sieci Bayesowskie

Lp	D	Z	MT
1	T	F	T
2	F	F	F
3	T	F	F
4	F	T	T



	D
F	0.8
T	0.2

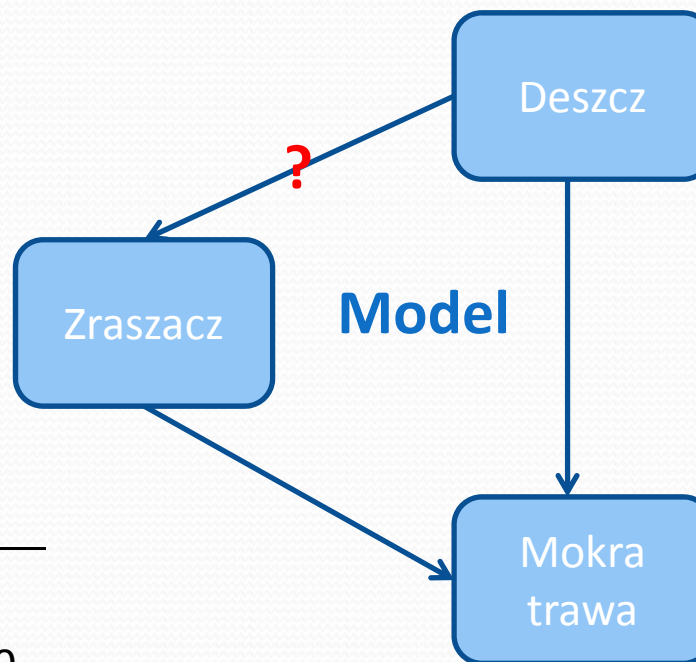
D\Z	T	F
F	0.4	0.6
T	0.01	0.99

Z,D\MT		T	F
F	F	0.0	1.0
F	T	0.8	0.2
T	F	0.9	0.1
T	T	0.99	0.01

# Modelowanie Bayesowski

## Sieci Bayesowskie (struktura)

Lp	D	Z	MT
1	T	F	T
2	F	F	F
3	T	F	F
4	F	T	T



	D
F	0.8
T	0.2

D\Z	T	F
F	0.4	0.6
T	0.01	0.99

Z,D\MT		T	F
F	F	0.0	1.0
F	T	0.8	0.2
T	F	0.9	0.1
T	T	0.99	0.01

# Modelowanie Bayesowski

## Sieci Bayesowskie (parametry)

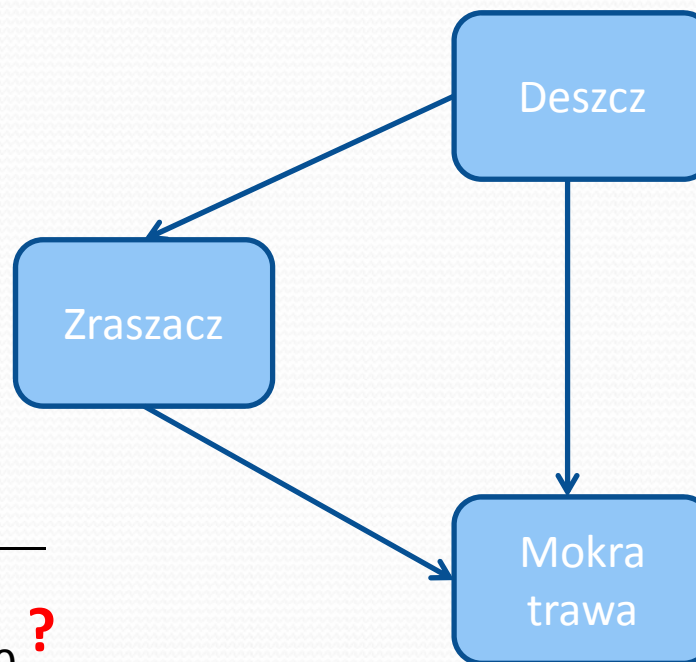
Lp	D	Z	MT
1	T	F	T
2	F	F	F
3	T	F	F
4	F	T	T

**Prawdopodobieństwa warunkowe**

D\Z	T	F
F	0.4	0.6
T	0.01	0.99

**Prawdopodobieństwa apriori**

	D
F	0.8
T	0.2



Z,D\MT		T	F
F	F	0.0	1.0
F	T	0.8	0.2
T	F	0.9	0.1
T	T	0.99	0.01



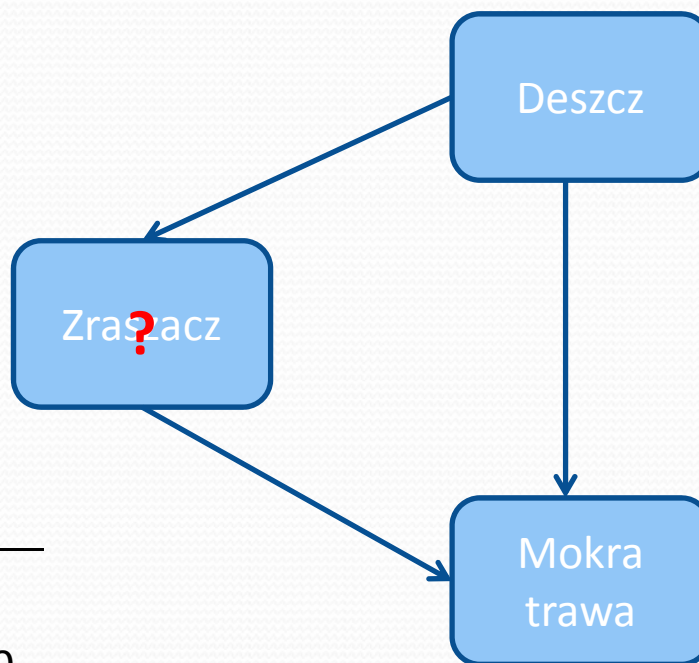
# Modelowanie Bayesowski

## Sieci Bayesowskie (zmienne ukryte)

Lp	D	Z	MT
1	T	F	T
2	F	F	F
3	T	F	F
4	F	T	T

**Obserwowalność**

D\Z	T	F
F	0.4	0.6
T	0.01	0.99



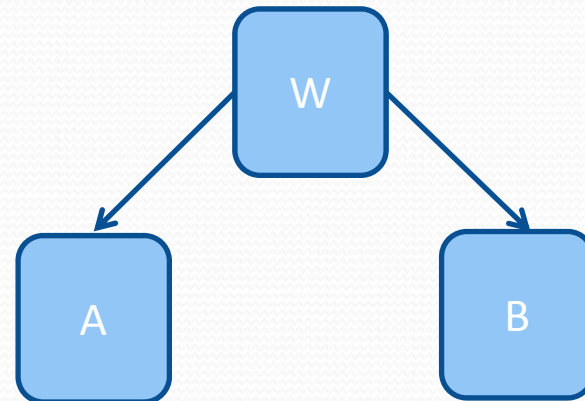
	D
F	0.8
T	0.2

Z,D\MT		T	F
F	F	0.0	1.0
F	T	0.8	0.2
T	F	0.9	0.1
T	T	0.99	0.01

# Modelowanie Bayesowski

## Definicja i własności

- DAG (skierowany graf acykliczny)
- Prawdopodobieństwo łączne ma własność faktoryzacji
$$p(TM, Z, D) = p(TM | Z, D) p(Z | D) p(D)$$
- Warunkowa niezależność
$$p(A \& B | W) = p(A | W) p(B | W)$$





# Modelowanie Bayesowskie

## Rozkłady apriori

- Interpretacja
  - Populacja możliwych parametrów z którego pochodzą obecne wartości
  - Stan wiedzy o parametrach



# Modelowanie Bayesowskie

## Rozkłady apriori

- Nieinformatwne
  - Reprezentuje brak informacji o parametrze
  - Niezmienniczość względem reparametryzacji (zasada nierozróżnialności)
  - Jeffreys' Prior – „rozkład płaski”, problem dla dużych wymiarów, rozkład normalny:  $p(\mu, \sigma^2) \sim 1/\sigma^3$
  - Reference Prior – maksymalna odległość między a priori i a posteriori, rozkład normalny:  $p(\mu, \sigma^2) \sim 1/\sigma^4$
- Informatywne
  - Kodujemy naszą wiedzę z poprzednich doświadczeń, wiedzę dziedzinową

# Modelowanie Bayesowski

## Problem niemieckich czołgów

„Założmy, że przejęto 4 czołgi o numerach seryjnych 10, 256, 202 i 97. Zakładając, że czołgi są numerowane w kolejności w jakiej schodzą z taśmy produkcyjnej, ile jest obecnie czołgów?”

$$P(\max N) \sim \text{DUnif}(\max Y, 10000)$$

$$P(Y | \max N) \sim \text{DUnif}(0, \max N)$$

Think Bayes: Bayesian Statistics in Python, Allen B. Downey

[https://en.wikipedia.org/wiki/German\\_tank\\_problem](https://en.wikipedia.org/wiki/German_tank_problem)

# Modelowanie Bayesowski

## Problem niemieckich czołgów

```
library(R2jags)

observations <- c(10,256,202,97)

model1 <- list(
  model = function()
  {
    maxNTmp ~ dbetabin(1,1,1000-maxY)
    maxN <- maxNTmp+maxY
    for( i in 1:nY)
    {
      Y[i] ~ dbetabin(1,1,maxN)
    }
  },
  data = list(Y = observations, nY = length(observations), maxY=max(observations)),
  parameters = c("maxN", "maxNTmp"),
  inits = NULL )

theModelsim1 <- jags(model1$data, model1$inits, model1$parameters, model1$model,
  n.chains=5, n.iter=100000,
  jags.module = c("glm", "dic", "mix"))
```



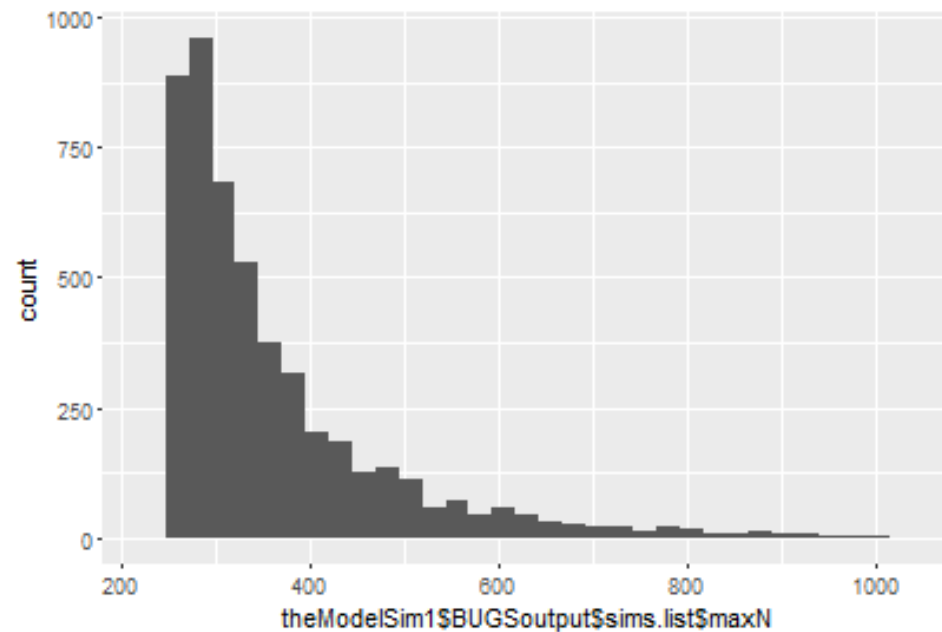
# Modelowanie Bayesowski

## Problem niemieckich czołgów

```
Compiling model graph
  Resolving undeclared variables
  Allocating nodes
Graph information:
  Observed stochastic nodes: 4
  Unobserved stochastic nodes: 1
  Total graph size: 36
```

```
Initializing model
```

```
|+++++|
|*****|
```

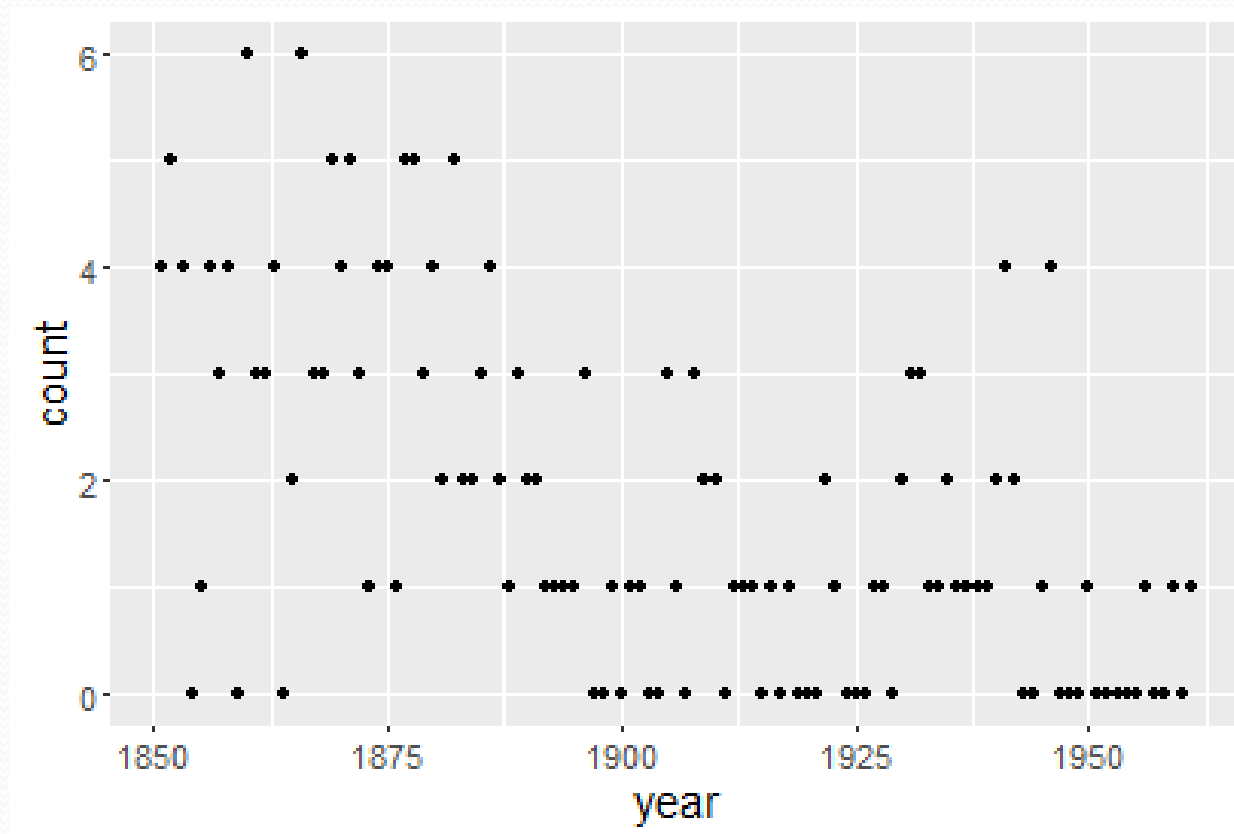


	mu.vect	sd.vect	2.5%	25%	50%	75%	97.5%	Rhat	n.eff
maxN	363.268	121.914	258.000	280.000	320.000	397.000	728.000	1.002	2800
maxNTmp	107.268	121.914	2.000	24.000	64.000	141.000	472.000	1.003	2300
deviance	46.839	2.212	44.455	45.107	46.172	47.892	52.733	1.002	2900

# Modelowanie Bayesowski

## Punkt przełączenia

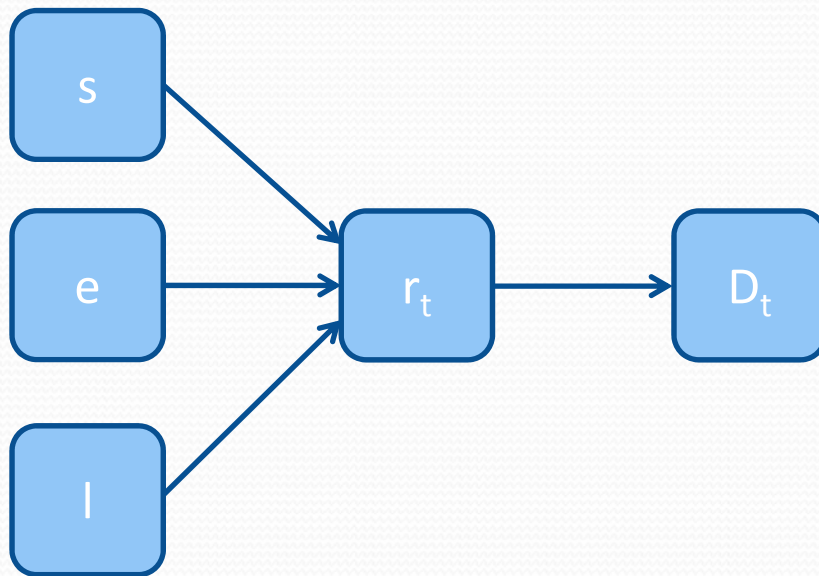
Wypadki w kopalniach w latach 1851-1951



<https://pymc-devs.github.io/pymc/tutorial.html>

# Modelowanie Bayesowski

## Punkt przełączenia



$$D_t \sim \text{Poisson}(r_t)$$

$$r_t \leftarrow t > s ? I : e$$

$$s \sim \text{Dunif}(t_l, t_h)$$

$$e \sim \text{Exponential}(r_e)$$

$$I \sim \text{Exponential}(r_I)$$



# Modelowanie Bayesowski

## Punkt przełączenia

```
modelSP <- list(  
  model = function()  
  {  
    e ~ dexp(1)  
    l ~ dexp(1)  
    s ~ dbetabin(1,1,110)  
  
    for( t in 1:length(D))  
    {  
      r[t] <- ifelse(t>s,l,e)  
    }  
  
    for( t in 1:length(D))  
    {  
      D[t] ~ dpois(r[t])  
    }  
  },  
  data = list(D=dfSP$count),  
  parameters = c("e","l","s"),  
  inits = NULL )
```

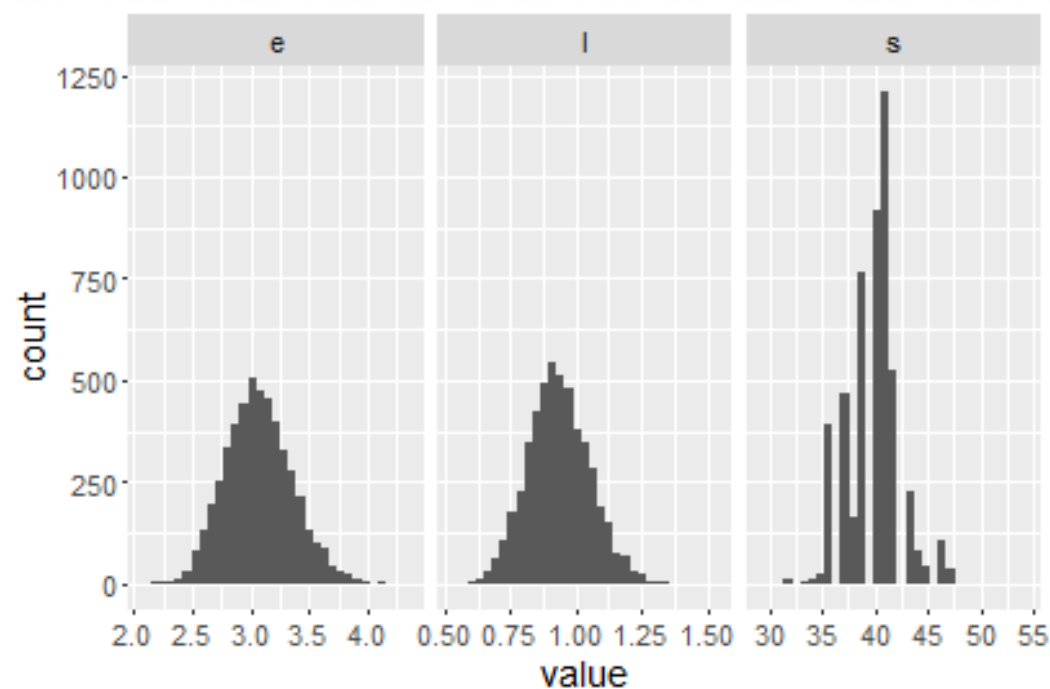
```
theModelSP <- jags(modelSP$data, modelSP$inits, modelSP$parameters, modelSP$model,  
  n.chains=5, n.iter=100000,  
  jags.module = c("glm","dic","mix"))
```

```
dfSP <- data.frame( count =  
c(4, 5, 4, 0, 1, 4, 3, 4, 0, 6, 3, 3, 4, 0, 2, 6,  
3, 3, 5, 4, 5, 3, 1, 4, 4, 1, 5, 5, 3, 4, 2, 5,  
2, 2, 3, 4, 2, 1, 3, 2, 2, 1, 1, 1, 1, 3, 0, 0,  
1, 0, 1, 1, 0, 0, 3, 1, 0, 3, 2, 2, 0, 1, 1, 1,  
0, 1, 0, 1, 0, 0, 0, 2, 1, 0, 0, 0, 1, 1, 0, 2,  
3, 3, 1, 1, 2, 1, 1, 1, 1, 2, 4, 2, 0, 0, 1, 4,  
0, 0, 0, 1, 0, 0, 0, 0, 0, 1, 0, 0, 1, 0, 1 ),  
year = 1851:1961)
```

# Modelowanie Bayesowski

## Punkt przełączenia

```
Compiling model graph
  Resolving undeclared variables
  Allocating nodes
Graph information:
  Observed stochastic nodes: 111
  Unobserved stochastic nodes: 3
  Total graph size: 563
```

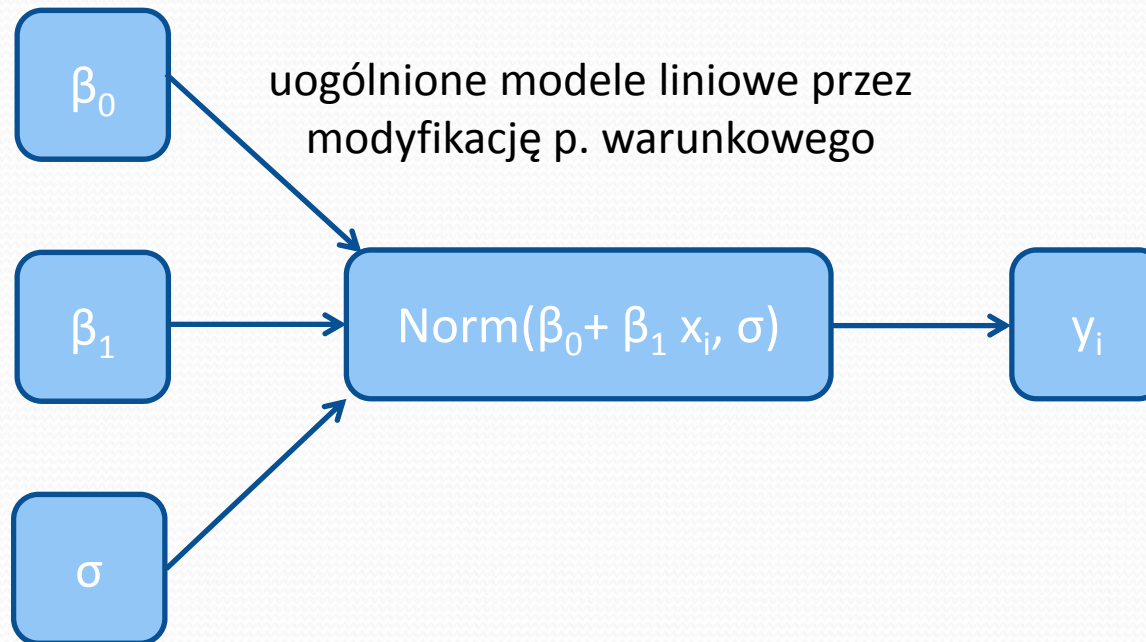


	mu.vect	sd.vect	2.5%	25%	50%	75%	97.5%	Rhat	n.eff
e	3.072	0.286	2.547	2.871	3.062	3.258	3.667	1.001	5000
l	0.937	0.119	0.715	0.855	0.931	1.015	1.187	1.001	5000
s	39.996	2.361	36.000	39.000	40.000	41.000	46.000	1.002	2800
deviance	339.360	2.637	336.092	337.512	338.677	340.577	346.032	1.001	5000

# Modelowanie Bayesowski

## Regresja liniowa

regularyzacja przez  
rozkłady apriori

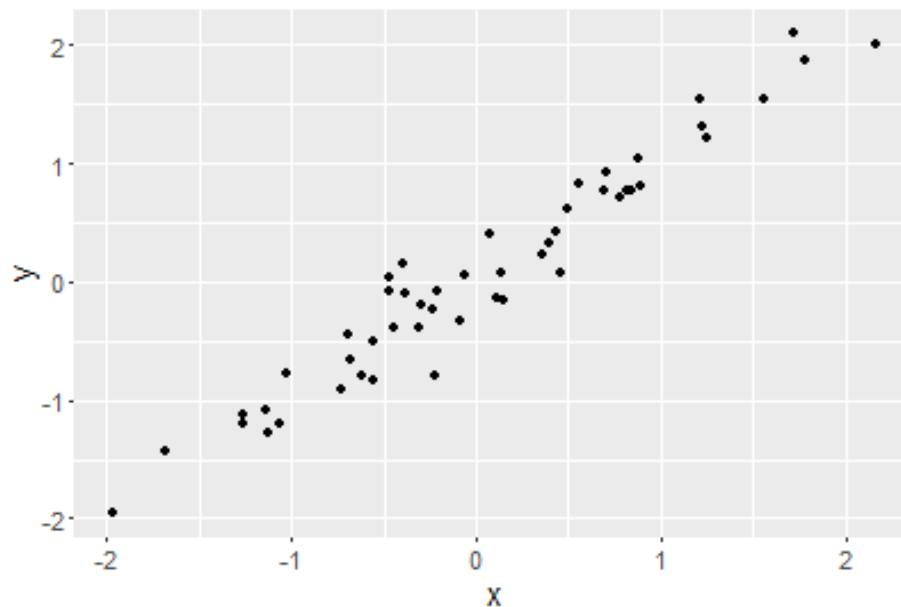




# Modelowanie Bayesowski

## Regresja liniowa

```
set.seed(123)
df <- data.frame(x = rnorm(50),
                 eps = rnorm(50, sd = 0.25))
df$y = with(df, x+eps)
```





# Modelowanie Bayesowski

## Regresja liniowa

Nieinformatywne rozkłady apriori

	mu.vect	sd.vect	2.5%	25%	50%	75%	97.5%	Rhat	n.eff
beta0	-0.066	0.041	-0.146	-0.092	-0.066	-0.039	0.015	1.001	5000
beta1	1.026	0.038	0.951	1.000	1.026	1.051	1.102	1.001	5000
sigma	0.277	0.029	0.227	0.256	0.274	0.294	0.341	1.001	5000
deviance	12.802	2.603	9.907	10.934	12.116	13.935	19.701	1.001	3900

Informatywne rozkłady apriori dla  $\beta$  ( $\mu=-1$ ,  $\tau=100$ )

	mu.vect	sd.vect	2.5%	25%	50%	75%	97.5%	Rhat	n.eff
beta0	0.092	0.232	-0.369	-0.066	0.092	0.244	0.561	1.001	5000
beta1	-0.719	0.111	-0.939	-0.792	-0.721	-0.643	-0.502	1.001	4700
sigma	1.625	0.194	1.285	1.492	1.610	1.744	2.045	1.001	5000
deviance	189.662	6.690	176.099	185.236	189.910	194.162	202.533	1.001	5000

Regularyzacja przez rozkłady apriori:

Lasso (laplace priors), elastic net



# Modelowanie Bayesowski

## Modele hierarchiczne

Modelowanie trwałości pamięci – jak zapominamy z czasem?

- Grupa osób miała do zapamiętania 18 jednostek informacji
- Każda osoba była testowana podczas 10 sesji
- Model wykładniczego zaniku

Table 10.1 Memory retention data for 4 subjects and 10 time intervals.

Subject	Time Interval									
	1	2	4	7	12	21	35	59	99	200
1	18	18	16	13	9	6	4	4	4	?
2	17	13	9	6	4	4	4	4	4	?
3	14	10	6	4	4	4	4	4	4	?
4	?	?	?	?	?	?	?	?	?	?

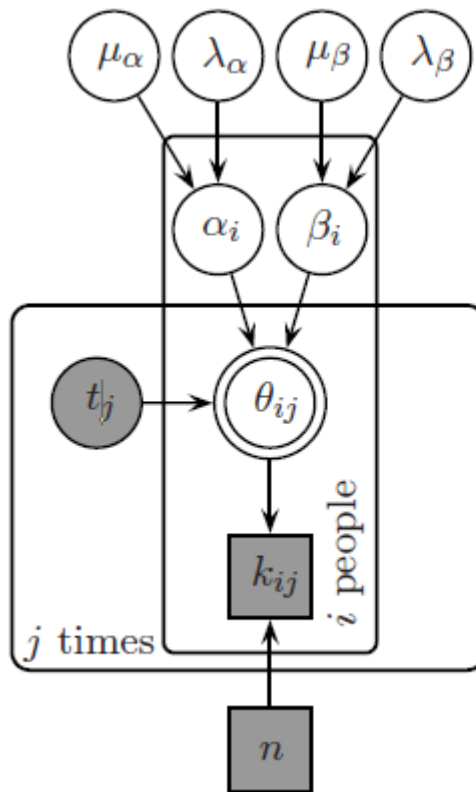
Bayesian Cognitive Modeling: A Practical Course,  
Michael D. Lee, Eric-Jan Wagenmakers

# Modelowanie Bayesowski

## Modele hierarchiczne

współczynniki dla grupy

współczynniki  
indywidualne



$$\mu_\alpha \sim \text{Beta}(1, 1)$$

$$\lambda_\alpha \sim \text{Gamma}(.001, .001)$$

$$\mu_\beta \sim \text{Beta}(1, 1)$$

$$\lambda_\beta \sim \text{Gamma}(.001, .001)$$

$$\alpha_i \sim \text{Gaussian}(\mu_\alpha, \lambda_\alpha)_{\mathcal{I}(0,1)}$$

$$\beta_i \sim \text{Gaussian}(\mu_\beta, \lambda_\beta)_{\mathcal{I}(0,1)}$$

$$\theta_{ij} \leftarrow \min(1, \exp(-\alpha_i t_j) + \beta_i)$$

$$k_{ij} \sim \text{Binomial}(\theta_{ij}, n)$$

# Modelowanie Bayesowski

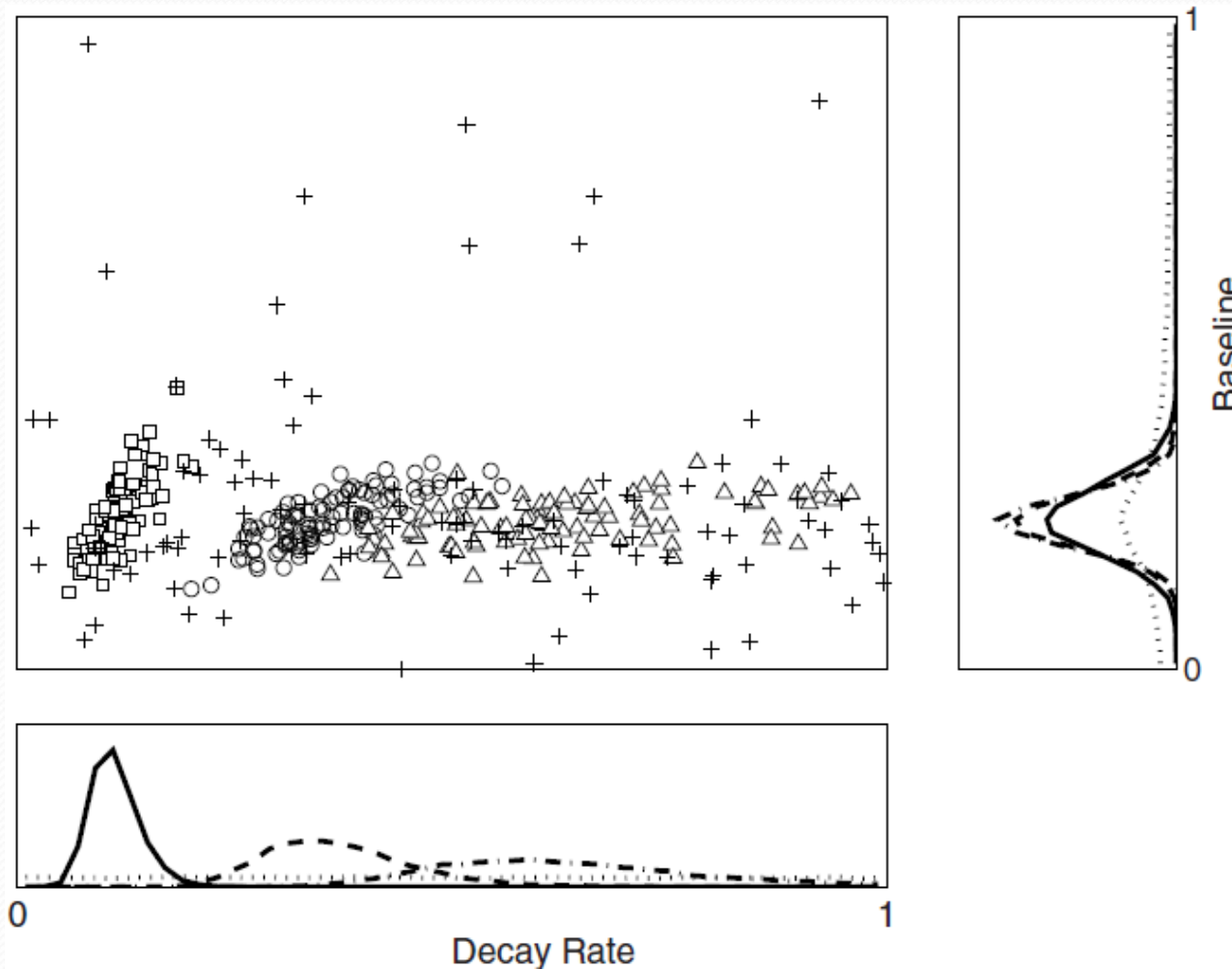
## Modele hierarchiczne

```
# Observed and Predicted Data
# i - subject
# j - test session
for (i in 1:ns){
  for (j in 1:nt){
    k[i,j] ~ dbin(theta[i,j],n)
    predk[i,j] ~ dbin(theta[i,j],n)
  }
}
# Retention Rate At Each Lag For Each Subject Decays Exponentially
for (i in 1:ns){
  for (j in 1:nt){
    theta[i,j] <- min(1,exp(-alpha[i]*t[j])+beta[i])
  }
}
# Parameters For Each Subject Drawn From Gaussian Group Distributions
for (i in 1:ns){
  alpha[i] ~ dnorm(alphamu,alphalambda)T(0,1)
  beta[i] ~ dnorm(betamu,betalambda)T(0,1)
}
# Priors For Group Distributions
alphamu ~ dbeta(1,1)
alphalambda ~ dgamma(.001,.001)T(.001,)
alphasigma <- 1/sqrt(alphalambda)
betamu ~ dbeta(1,1)
betalambda ~ dgamma(.001,.001)T(.001,)
betasigma <- 1/sqrt(betalambda)
```



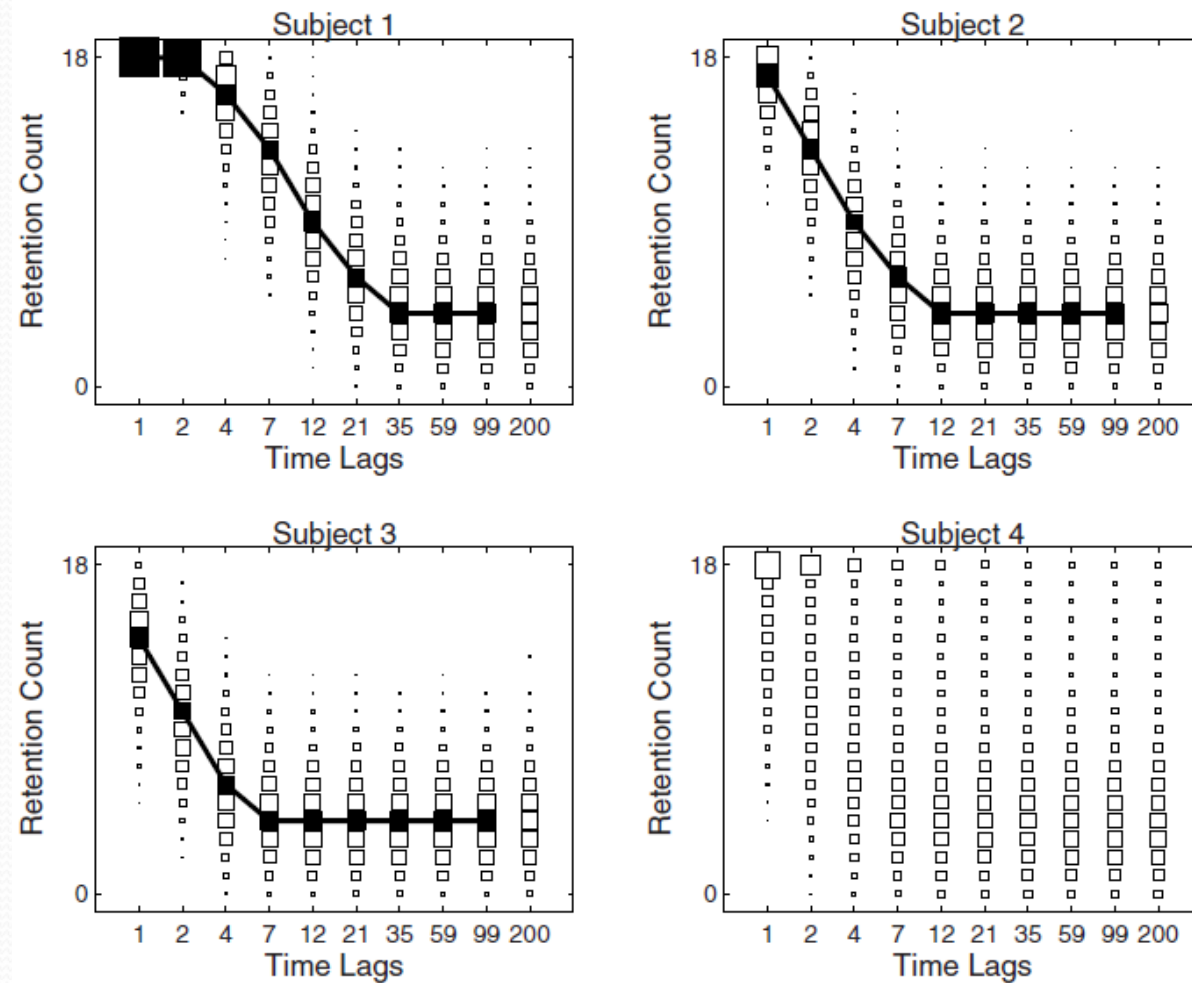
# Modelowanie Bayesowski

## Modele hierarchiczne



# Modelowanie Bayesowski

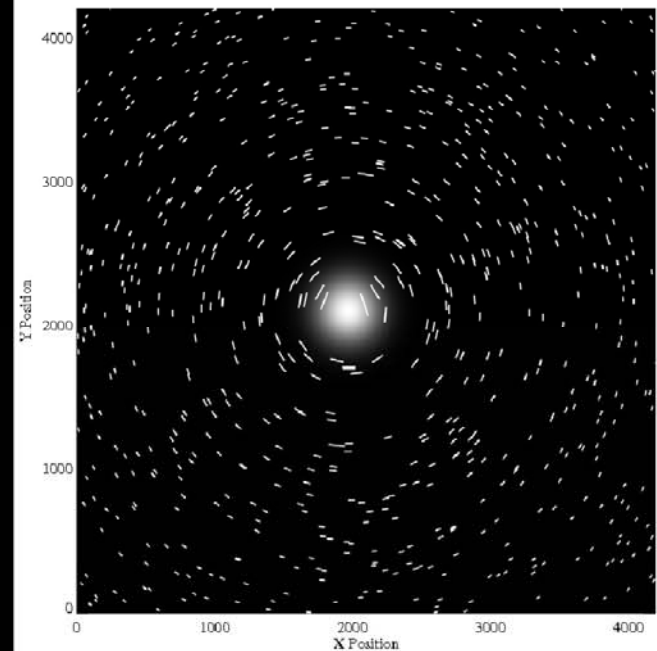
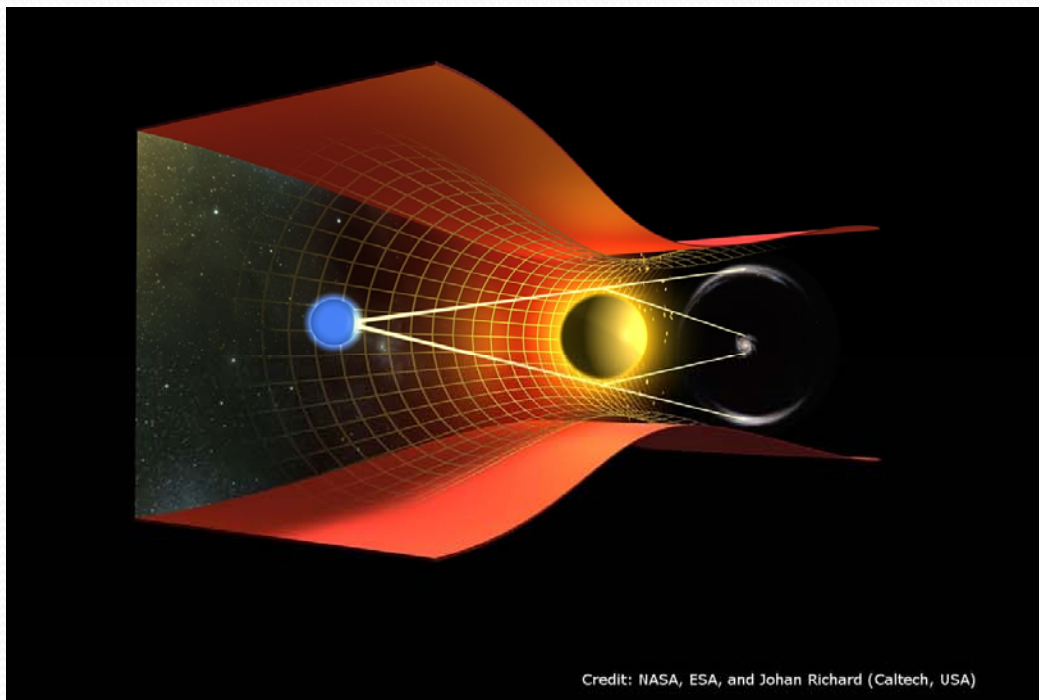
## Modele hierarchiczne



# Zastosowania

## Wykrywanie halo ciemnej materii

- <http://timsalimans.com/observing-dark-worlds/>  
<https://arxiv.org/pdf/1306.0202.pdf>

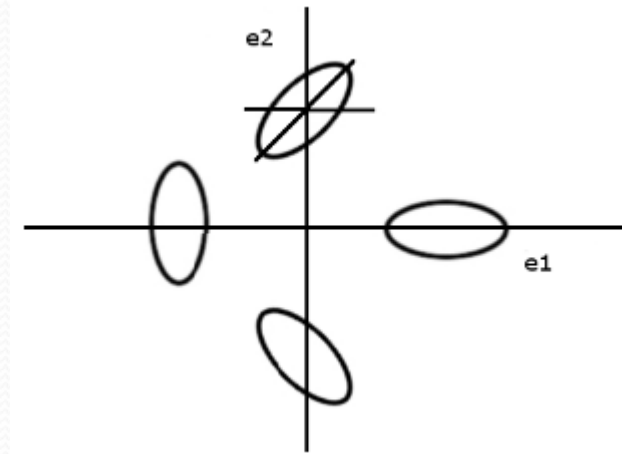




# Zastosowania

## Wyktywanie halo ciemnej materii

- Dane: 300-740 galaktyk na zdjęcie dla każdej galaktyki  $(x, y, e_1, e_2)$
- Na każdym zdjęciu 1-3 halo; określić masę i położenie halo  $P(\text{loc}_h, \text{mass}_h | \text{loc}_g, e_g)$
- Model generujący dane:



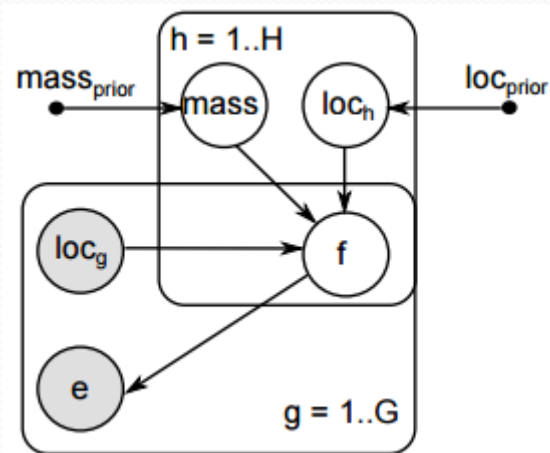
$$p(e_g | \text{loc}_g, \text{loc}_h, \text{mass}_h) = N(e_g | f(\text{loc}_g, \text{loc}_h, \text{mass}_h), \sigma^2)$$

$$f(\text{loc}_g, \text{loc}_h, \text{mass}_h) = \frac{\text{mass}_h}{\|\text{loc}_g - \text{loc}_h\|}$$

$$e_1 \sim N(-f \cos(2\phi), \sigma^2), \quad e_2 \sim N(-f \sin(2\phi), \sigma^2), \quad \phi = \text{atan} \frac{y_g - y_h}{x_g - x_h}$$

# Zastosowania

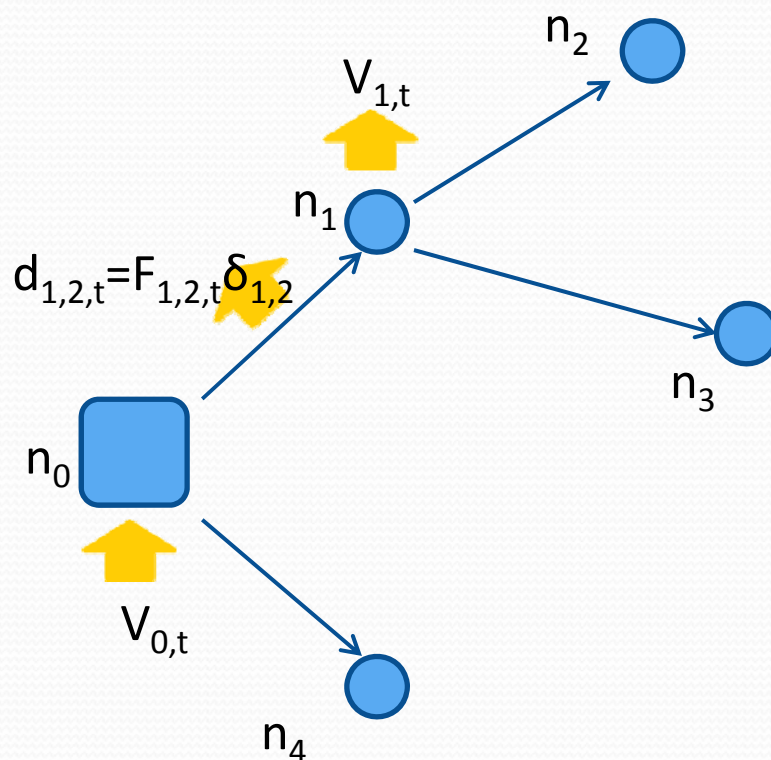
## Wyktywanie halo ciemnej materii



```
model{
  for( i in 1 : G ) {
    for( h in 1 : H ) {
      dx[i , h]    <- gx[i] - loc[h , 1]
      dy[i , h]    <- gy[i] - loc[h , 2]
      dist[i , h]  <- sqrt(dx[i , h] * dx[i , h] +
                           dy[i , h] * dy[i , h])
      phi[i , h]   <- atan2(dy[i , h], dx[i , h])
      iDist[i , h] <- 1.0 / dist[i , h]
      f[i , h]     <- mass[h] * iDist[i , h]
      f1[i , h]    <- -f[i , h] * cos(2 * phi[i , h])
      f2[i , h]    <- -f[i , h] * sin(2 * phi[i , h])
    }
    mu1[i] <- sum(f1[i , ])
    mu2[i] <- sum(f2[i , ])
    e1[i] ~ dnorm(mu1[i], 0.05)
    e2[i] ~ dnorm(mu2[i], 0.05)
  }
  for( h in 1 : H ) {
    mass[h] ~ dgamma(0.001, 0.001)
    loc[h , 1] ~ dunif(0, 4200)
    loc[h , 2] ~ dunif(0, 4200)
  }
}
```

# Zastosowania

## Analiza strat w sieci transportowej



Wz\sg	0,1	1,2	1,3	0,4
$n_0$	-	0	0	-
$n_1$	+	-	-	0

Dane:

$V, A$ , niektóre  $f$

Równanie bilansu dla węzła:

$$V + d = Af$$

Straty w węźle

(proporcjonalne do przepływu):

$$d = A^+(\delta.f)$$

Założenia:

$f > 0, 1 > \delta > 0, \delta$  stałe w  $t$



# Zastosowania

## Analiza strat w sieci transportowej

```
for( l in 1:nLinks )
{
  delta[l] ~ dbeta(aLinks,bLinks)
}

for( t in 1:nCases )
{
  for( l in 1:nLinks )
  {
    f[t,l] ~ dgamma(sLinks,rLinks)
    df[t,l] <- delta[l]*f[t,l]
  }

  fn[t,] <- A%%f[t,]
  dn[t,] <- Aplus%%df[t,]

  for( n in 1:nNodes )
  {
    v[t,n] ~ dnorm( fn[t,n] + dn[t,n], tauV)
  }
}
```

# Kiedy stosować modele Bayesowskie?

- Dysponujemy wiedzą o rozkładzie hiperparametrów, którą chcemy uwzględnić w modelu (np. współczynniki w regresji liniowej mogą przyjmować tylko wartości dodatnie, wyniki wcześniejszych eksperymentów)
- Złożona „fizyka” procesu; łatwo uwzględnić w modelu złożone transformacje, przekształcenia matematyczne, zależności hierarchiczne, zmienność w czasie (np. modele dynamiczne)
- Model korzysta z niestandardowych rozkładów prawdopodobieństwa
- Interesuje nas ocena niepewności otrzymanych wyników (np. rankingowanie, ocena ryzyka); rozkład prawdopodobieństwa vs przedział ufności; [https://en.wikipedia.org/wiki/Credible\\_interval](https://en.wikipedia.org/wiki/Credible_interval)

# Wyznaczanie rozkładów aposteriori

- Sprzężone rozkłady apriori
- Metody wariacyjne
- Samplowanie z rozkładów aposteriori  $P(\theta | \{d_i\})$   
(monte carlo markov chain)
  - Samplowane Gibbsa
  - Samplowanie Metropolis-Hastings
  - Samplowanie Hamiltonowskie

Information Theory, Inference and Learning Algorithms, David J. C. MacKay

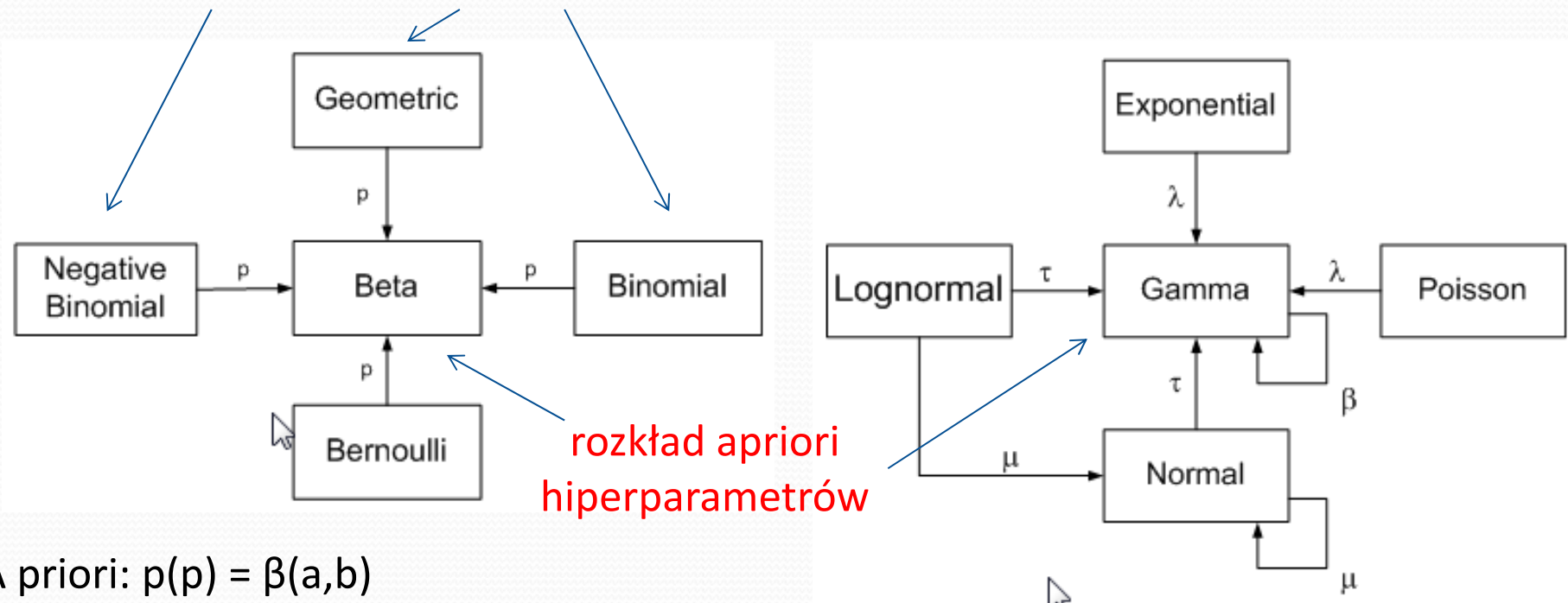


# Wyznaczanie rozkładów aposteriori

## Sprzężone rozkłady apriori

- Metoda analityczna

rozkład generujący dane (samlowanie)



A priori:  $p(p) = \beta(a,b)$

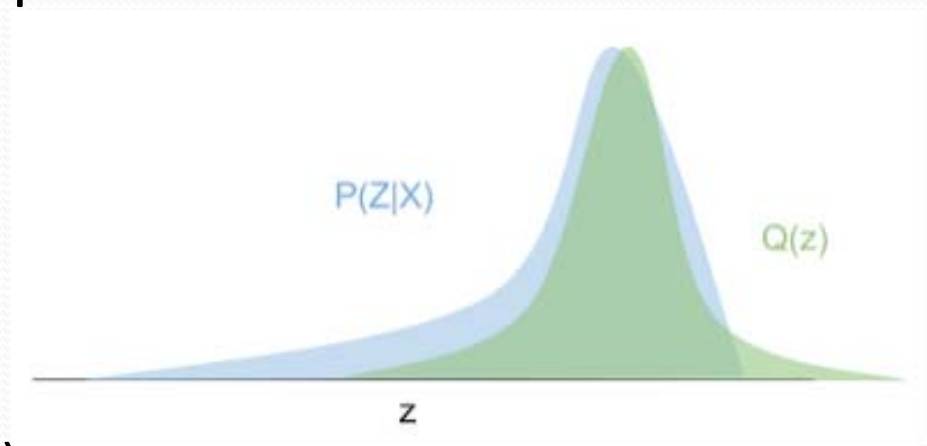
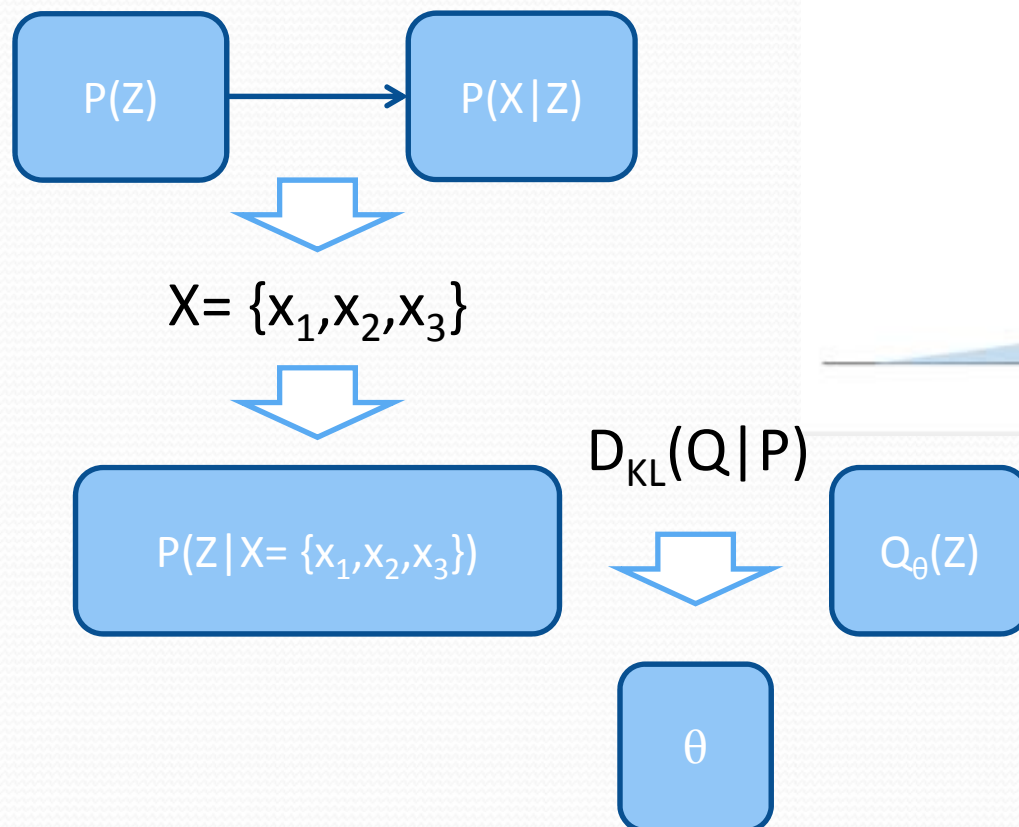
Rozkład generujący:  $p(x | n, p) = \text{Bernoulli}(x, n, p)$

A posteriori:  $p(p | x, n) = \beta(a+x, b+n-x)$

# Wyznaczanie rozkładów aposteriori

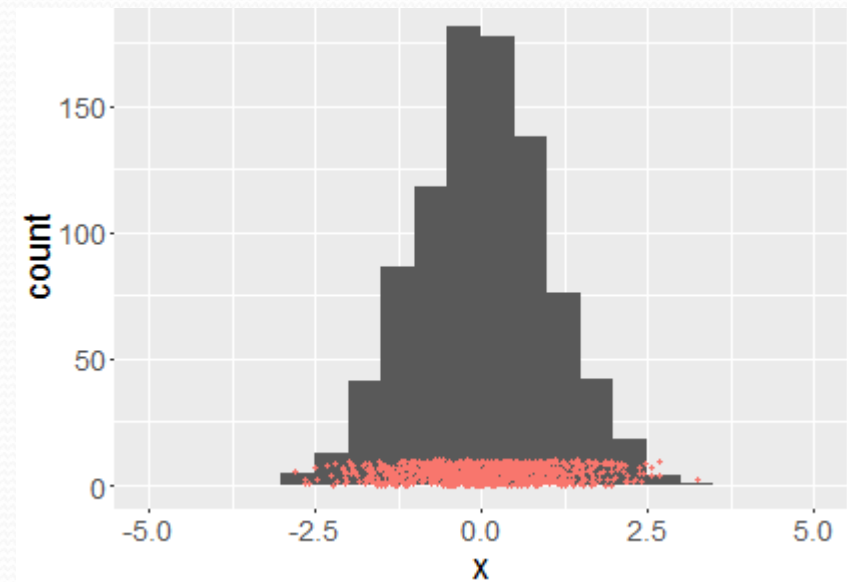
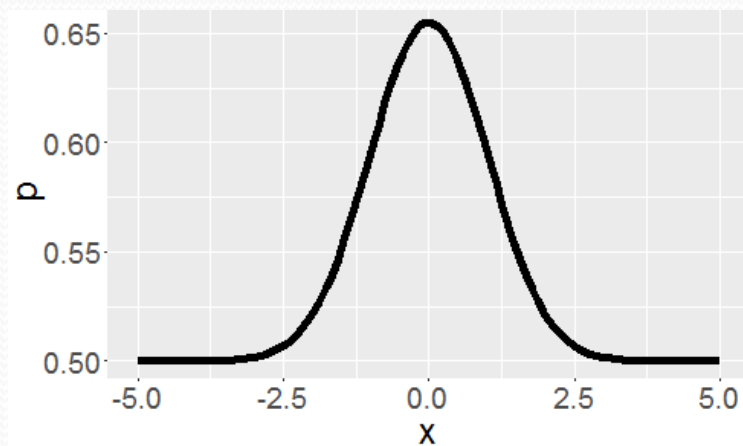
## Metody wariacyjne

- Aproksymacja analityczna  
faktoryzacja rozkładów hiperametrów



# Wyznaczanie rozkładów aposteriori

## MCMC

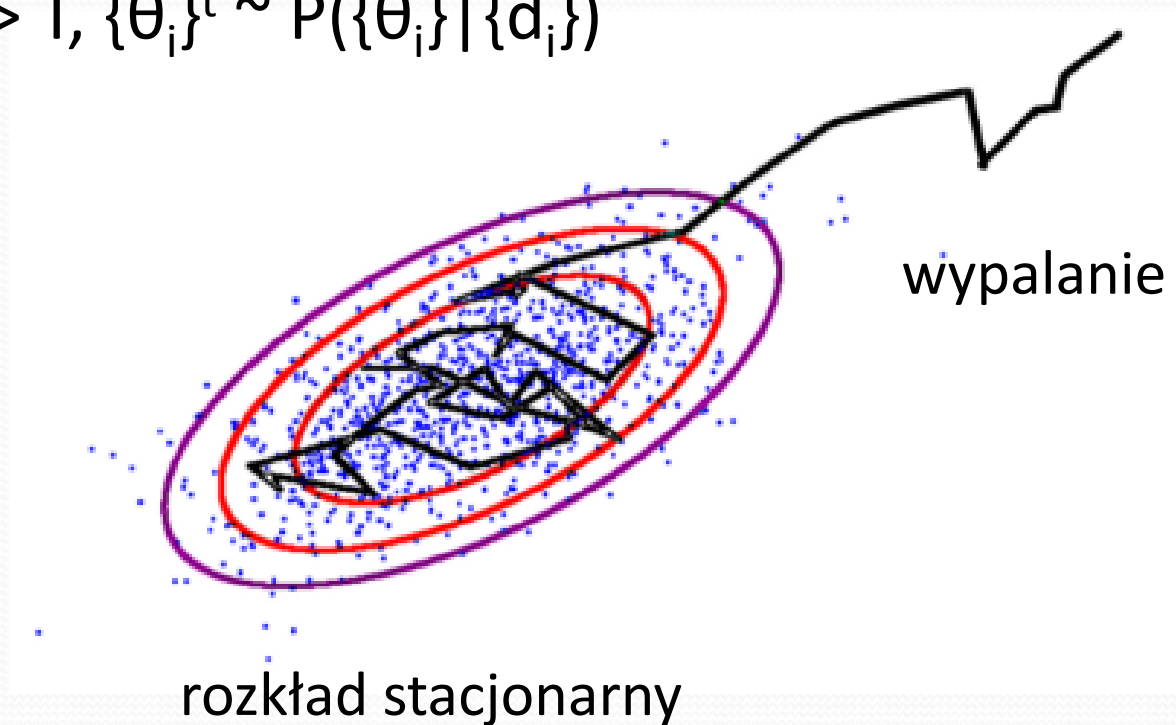




# Wyznaczanie rozkładów aposteriori

## MCMC

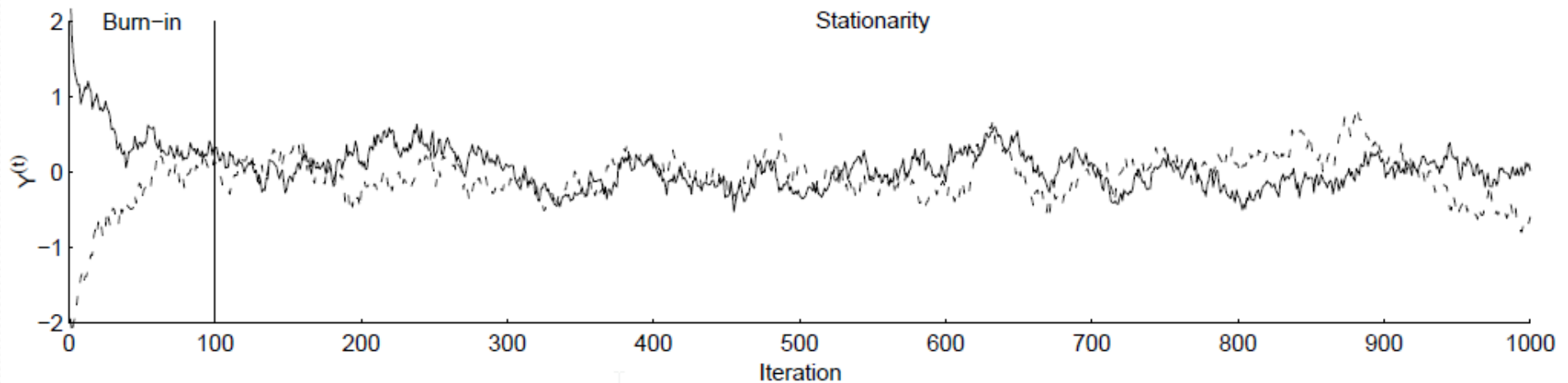
- $P(\{\theta_i\} | \{d_i\}) \sim P(\{\theta_i\}, \{d_i\})$
- $\{\theta_i\}^{t+1} = T(\{\theta_i\}^t)$
- Dla  $t > T$ ,  $\{\theta_i\}^t \sim P(\{\theta_i\} | \{d_i\})$



# Wyznaczanie rozkładów aposteriori

## MCMC

- Wypalanie, rozkład stacjonarny, zbieżność



# Wyznaczanie rozkładów aposteriori

## MCMC

- Autokorelacje (thinning)

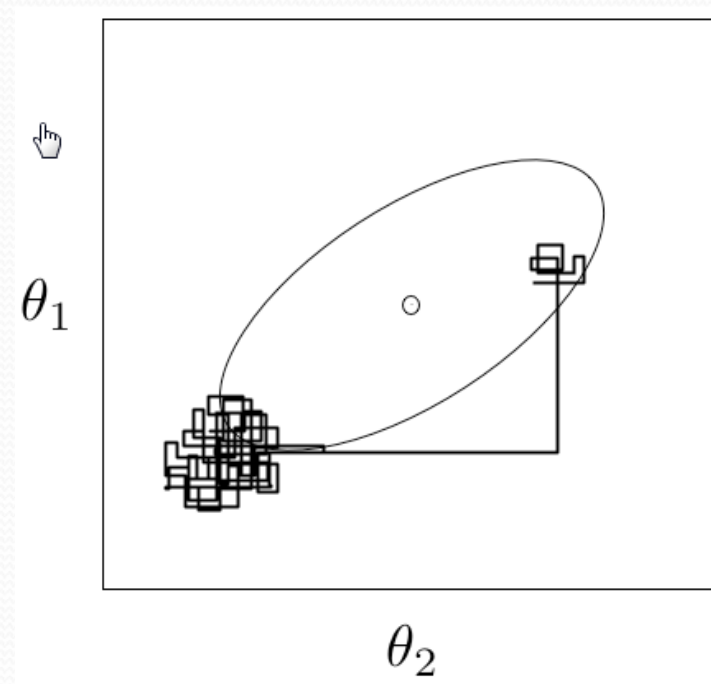
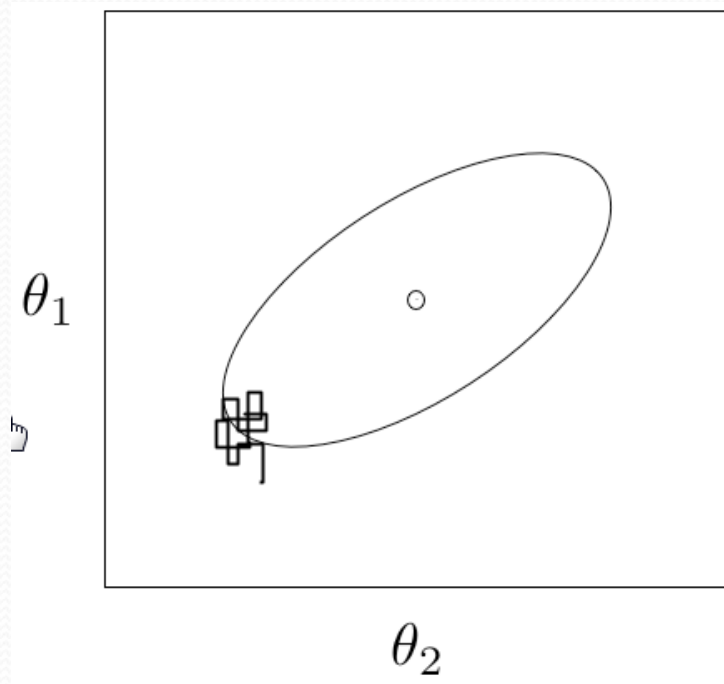




# Wyznaczanie rozkładów aposteriori

## MCMC

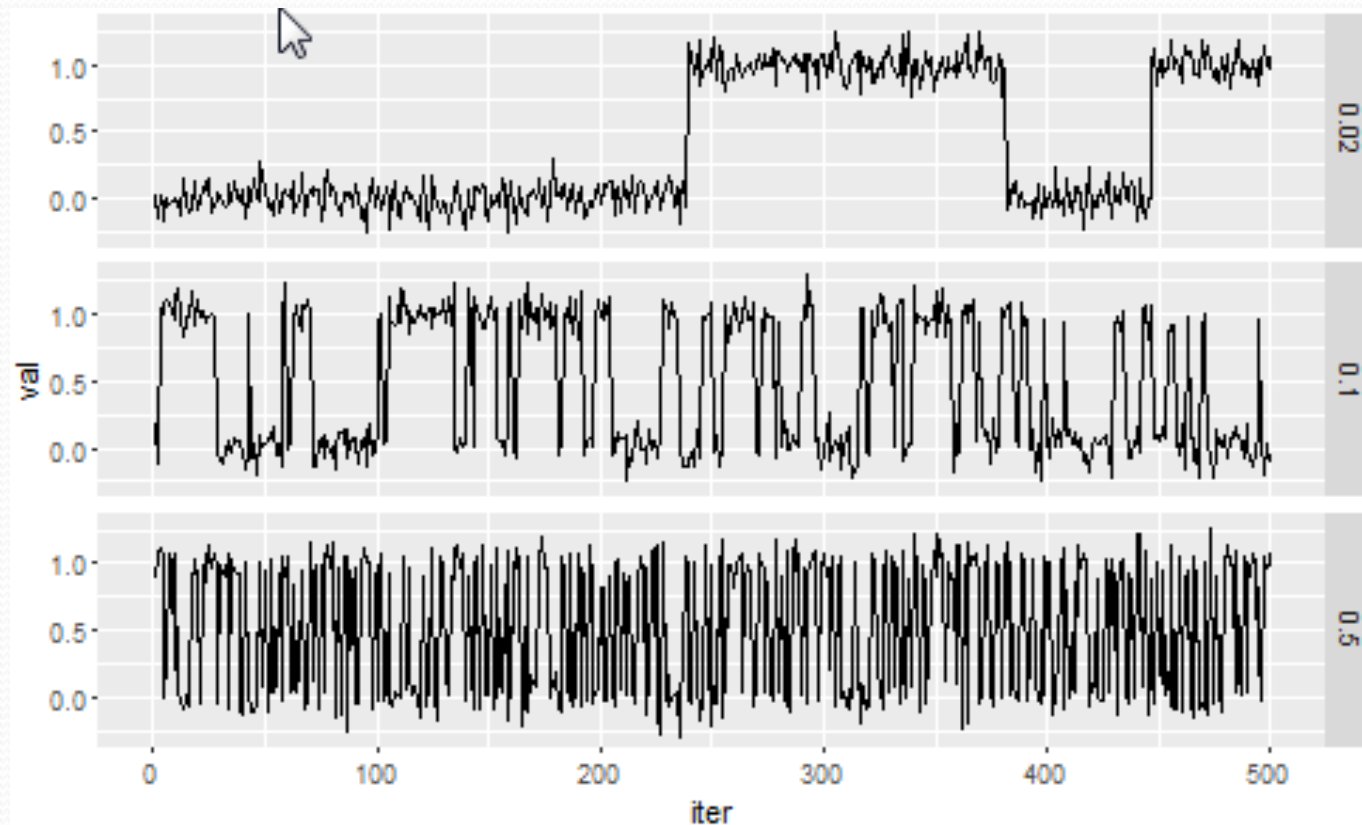
- Mieszanie i bistabilność



# Wyznaczanie rozkładów aposteriori

## MCMC

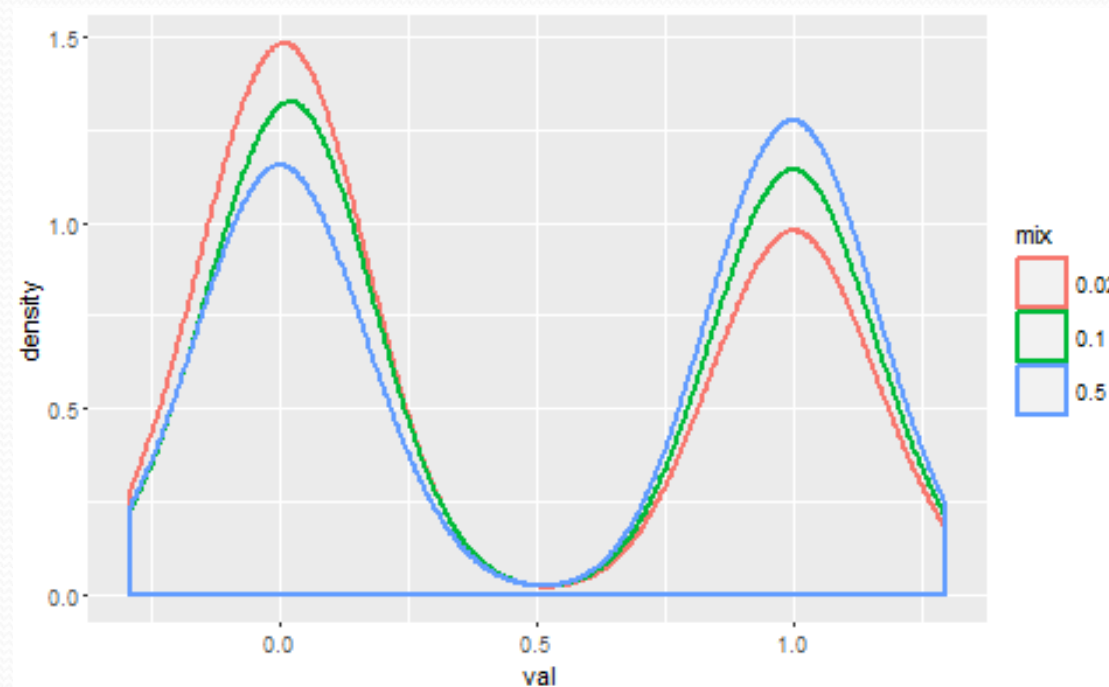
- Mieszanie i bistabilność



# Wyznaczanie rozkładów aposteriori

## MCMC

- Mieszanie i bistabilność





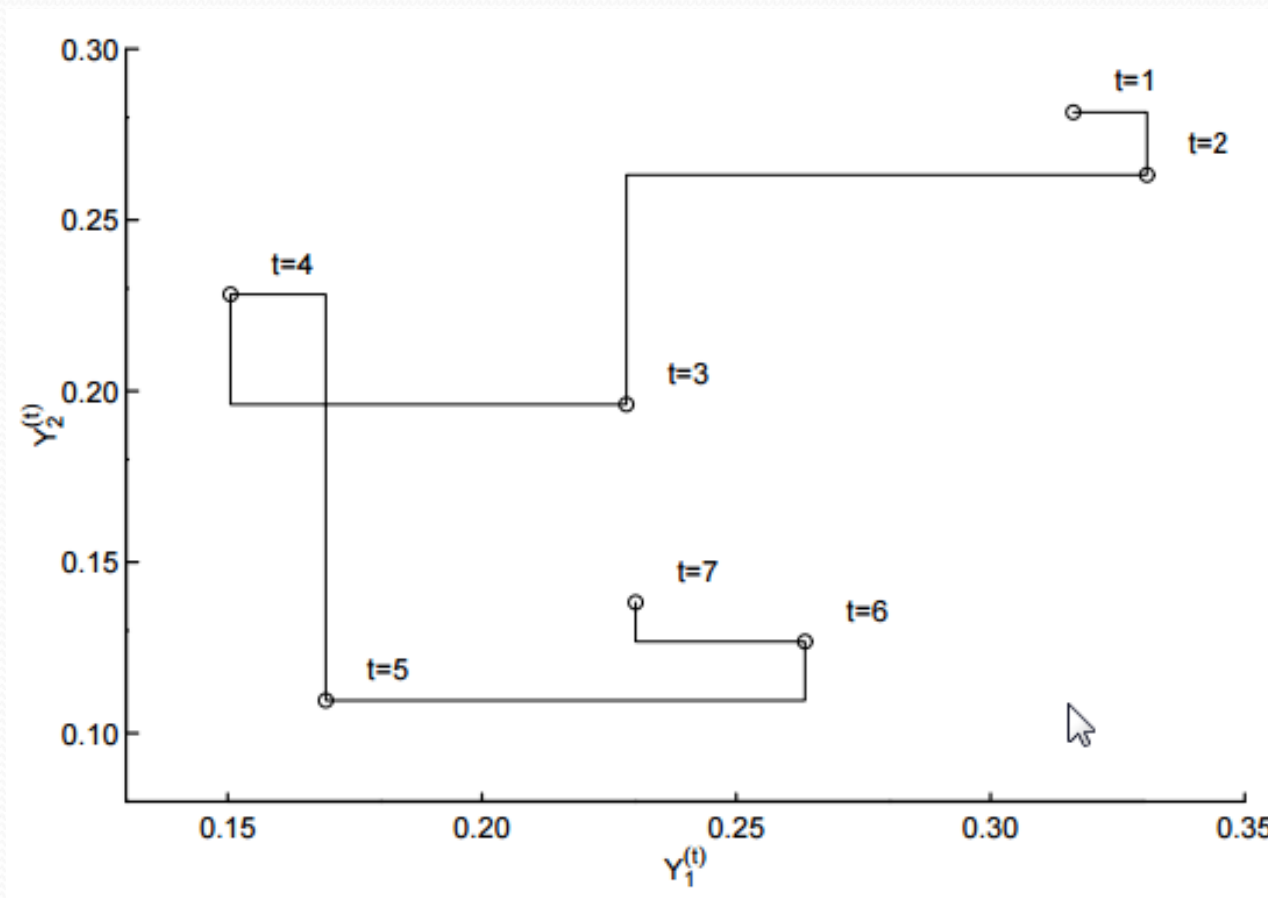
# Wyznaczanie rozkładów aposteriori

## Samplowanie Gibbsa

- $P(\theta_1, \theta_2 | \{d_i\}) = P(\theta_1 | \theta_2, \{d_i\}) P(\theta_2 | \{d_i\})$
- Ustalamy wartości początkowe  $\theta_1^0, \theta_2^0$ , samplujemy naprzemiennie:
  - $\theta_1^{t+1} \sim P(\theta_1^{t+1} | \theta_2^t | \{d_i\})$   
 $\theta_2^{t+1} \sim P(\theta_2^{t+1} | \theta_1^t | \{d_i\})$
- Zakładamy, że łatwo wygenerować  $P(\theta_1 | \theta_2, \{d_i\})$ ; rozkłady sprzężone, modele DAC

# Wyznaczanie rozkładów aposteriori

## Samplowanie Gibbsa



# Wyznaczanie rozkładów aposteriori

## Samplowanie Metropolis-Hastings

- Nie umiemy generować próbek z rozkładu  $P(\theta_1 | \theta_2, \{d_i\})$ ;
- Umiemy generować kandydatów  $\{\theta_i\}$ .
- Umiemy policzyć funkcję  $g(\{\theta_i\}) \sim p(\{\theta_i\} | \{d_i\})$
- Algorytm:
  - Inicjalizacja (wybieramy losowy punkt  $\{\theta_i\}^0$ )
  - Generowanie kandydata  $\{\theta_i\}'$
  - Akceptacja kandydata  
 $\{\theta_i\}^{t+1} = \{\theta_i\}'$  z prawdopodobieństwem  
 $\max(1, g(\{\theta_i\}')/g(\{\theta_i\}^t))$ , w przeciwnym razie  
odrzucaamy kandydata i pozostajemy z  $\{\theta_i\}^{t+1} = \{\theta_i\}^t$



# Narzędzia

- JAGS/WinBUGS (from R via R2jags/R2WinBugs)
- STAN
- PyMC
- PyMC3
- Infer.NET

# JAGS

## opis modelu/składnia

- Definicja  
model {  
    ...  
    #komentarz  
}
- Węzły/zmienne
  - zmienne stochastyczne  
 $x \sim \text{dnorm}(0,1)$
  - zmienne deterministyczne  
 $Y \leftarrow \text{ifelse}(x > 0, 1, 0)$



# JAGS

## tablice

- Indeksowanie i pętle  
for( i in 1:N)  
{  
     $Y[i] \sim \text{dnorm}(0,1)$   
}
- Tablice wielowymiarowe  $Y[i,j], Y[i,], Y[,j], Y[i,1:10]$
- Długość tablicy  $\text{length}(Y)$ ,  
wymiary  $\text{dim}(Y)$  (to trzeba wrzucić do bloku danych)  
for( i in 1:length(Y))...



# JAGS

## operacje wbudowane, funkcje

- Operatory logiczne
- Operatory arytmetyczne
- log,exp,step,ifelse, round
- min,max,sum,mean,
- sort,rank,order,inverse,transpose
- interp.lin

# JAGS

## rozkłady generujące

- dbeta,dexp,dnorm, dunif
- dbern,dbin, dcat
- ddirch, dmnorm
- Obcinanie rozkładów  $T(L,U)$   
dnorm(0,1)T(0,)



# JAGS

## dane

- Dane: stałe oraz zmienne stochastyczne, dane dla zmiennych deterministycznych generują błąd
- Brak danych NA

```
data {  
    Y<-c(1,NA,2,3,4)  
    mu<-5.1  
}
```



# JAGS

## JAGS w R: R2jags

- R jako frontend dla JAGS
  - definiowanie modelu
  - dostarczanie danych
  - sterowanie wykonaniem
  - przetwarzanie wyników

# JAGS

## JAGS via R: R2jags

- R jako frontend dla JAGS
  - definiowanie modelu
  - dostarczanie danych

```
model = function()
{
  maxNTmp ~ dbetabin(1,1,1000-maxY)
  maxN <- maxNTmp+maxY
  for( i in 1:nY)
  {
    Y[i] ~ dbetabin(1,1,maxN)
  }
}

observations <- c(10,256,202,97)
data = list(Y = observations,nY = length(observations),maxY=max(observations))
```

# JAGS

## JAGS via R: R2jags

- R jako frontend dla JAGS
  - sterowanie wykonaniem (jags, jags.parallel)

```
jags(data, inits, parameters.to.save, model.file="model.bug",  
      n.chains=3, n.iter=2000, n.burnin=floor(n.iter/2),  
      n.thin=max(1, floor((n.iter - n.burnin) / 1000)),  
      DIC=TRUE, working.directory=NULL, jags.seed = 123,  
      refresh = n.iter/50, progress.bar = "text", digits=5,  
      RNGname = c("Wichmann-Hill", "Marsaglia-Multicarry",  
                  "Super-Duper", "Mersenne-Twister"),  
      jags.module = c("glm","dic")  
    )
```

⌵



# JAGS

## JAGS via R: R2jags

- R jako frontend dla JAGS
  - przetwarzanie wyników: `print(model)`

```
Inference for Bugs model at "C:/Users/Lukasz/AppData/Local/Temp/Rtmpeeeuka/model2f0c56e"
5 chains, each with 1e+05 iterations (first 50000 discarded), n.thin = 50
n.sims = 5000 iterations saved
```

	mu.vect	sd.vect	2.5%	25%	50%	75%	97.5%	Rhat	n.eff
maxN	365.126	126.094	258.000	280.000	321.000	399.000	746.000	1.001	4300
maxNTmp	109.126	126.094	2.000	24.000	65.000	143.000	490.000	1.001	4100
deviance	46.863	2.260	44.455	45.107	46.196	47.932	52.929	1.001	4300

For each parameter, n.eff is a crude measure of effective sample size, and Rhat is the potential scale reduction factor (at convergence, Rhat=1).

DIC info (using the rule,  $pD = \text{var}(\text{deviance})/2$ )

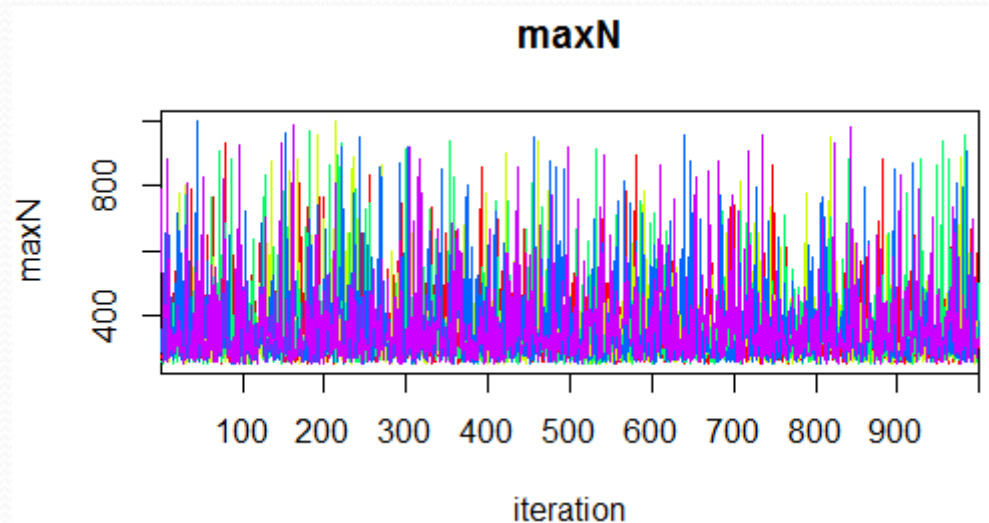
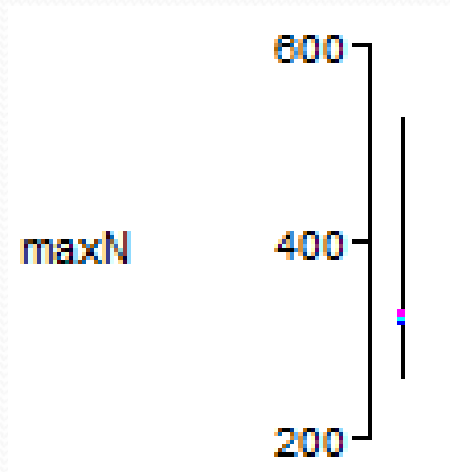
$pD = 2.6$  and  $DIC = 49.4$

DIC is an estimate of expected predictive error (lower deviance is better).

# JAGS

## JAGS via R: R2jags

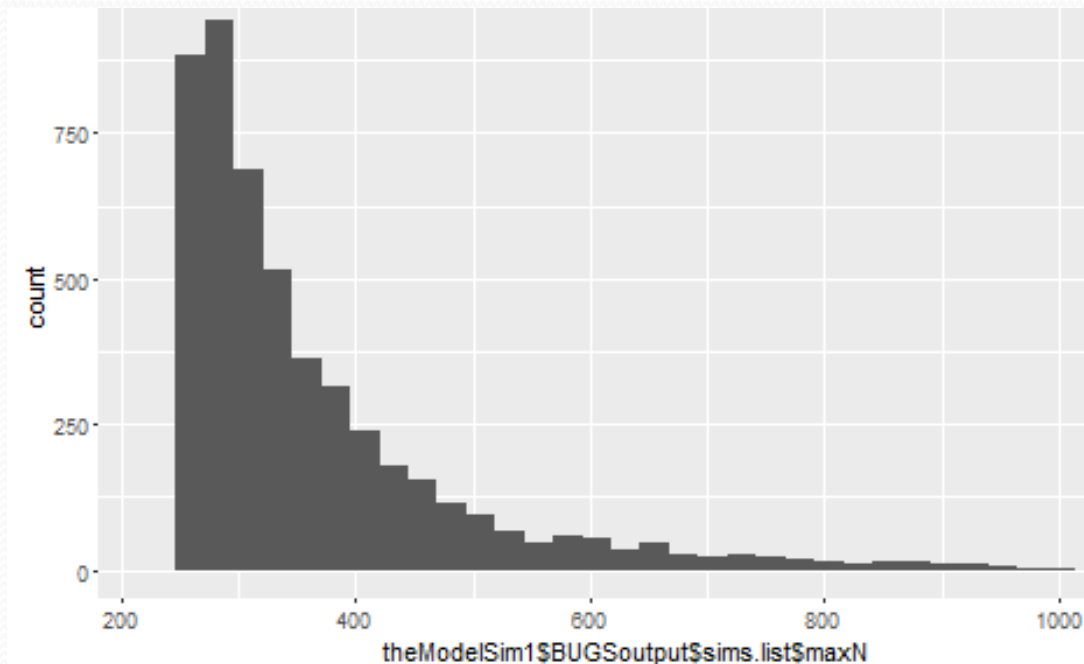
- R jako frontend dla JAGS
  - przetwarzanie wyników: `plot(model)`, `traceplot(model)`



# JAGS

## JAGS via R: R2jags

- R jako frontend dla JAGS
  - `qplot(theModelSim1$BUGSoutput$sims.list$maxN, geom = "histogram")`





# JAGS

## etapy wykonywania modelu

- Kompilacja (błędy)
  - Graf zawiera cykle
  - Brak parametrów (nazwy niezdeklarowane są traktowane jako stałe/dane)
  - Błędy w nazwach funkcji, rozkładów
  - Niewłaściwy format paramtru (np. tabela gdy oczekiwany jest skalar)
- Inicjalizacja
  - Wartości parametrów
  - Generatory liczb losowych, samplery
- Adaptacja samplerów i burn-in
- Monitoring



# Ocena jakości modeli (CODA)

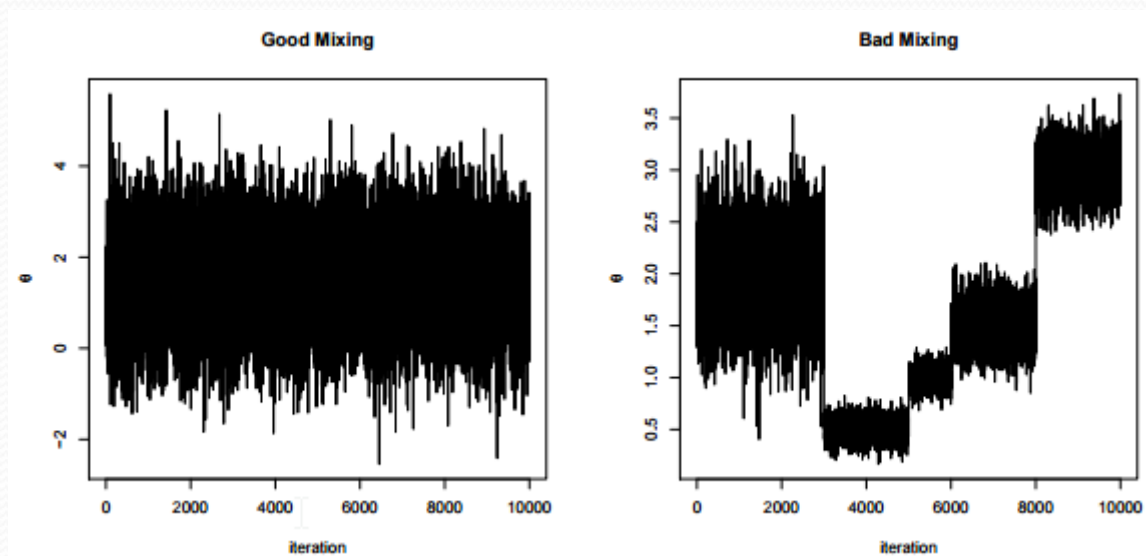
- Testowanie zbieżność
- Efektywny rozmiar próbki i błąd średnich
- Ocena jakości modelu, poziom dopasowania

Bayesian Modeling Using WinBUGS, Ioannis Ntzoufras

Bayesian Data Analysis, Andrew Gelman and John B. Carlin

# Ocena jakości modeli (CODA)

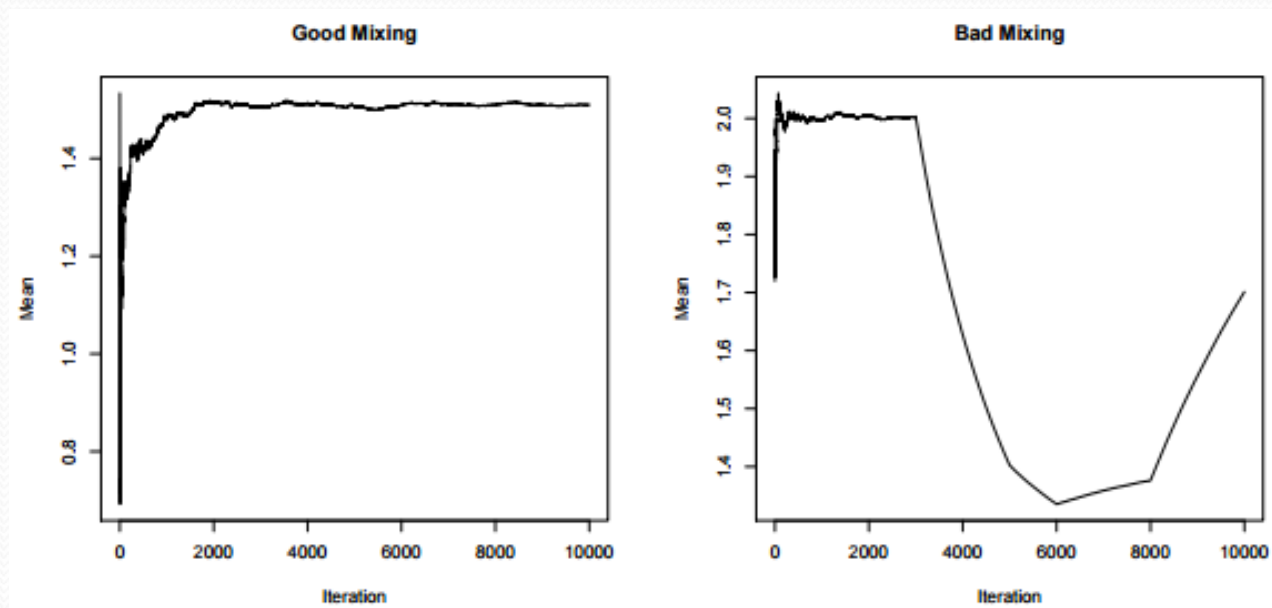
- Autokorelacje, mieszanie, inspekcja wizualna





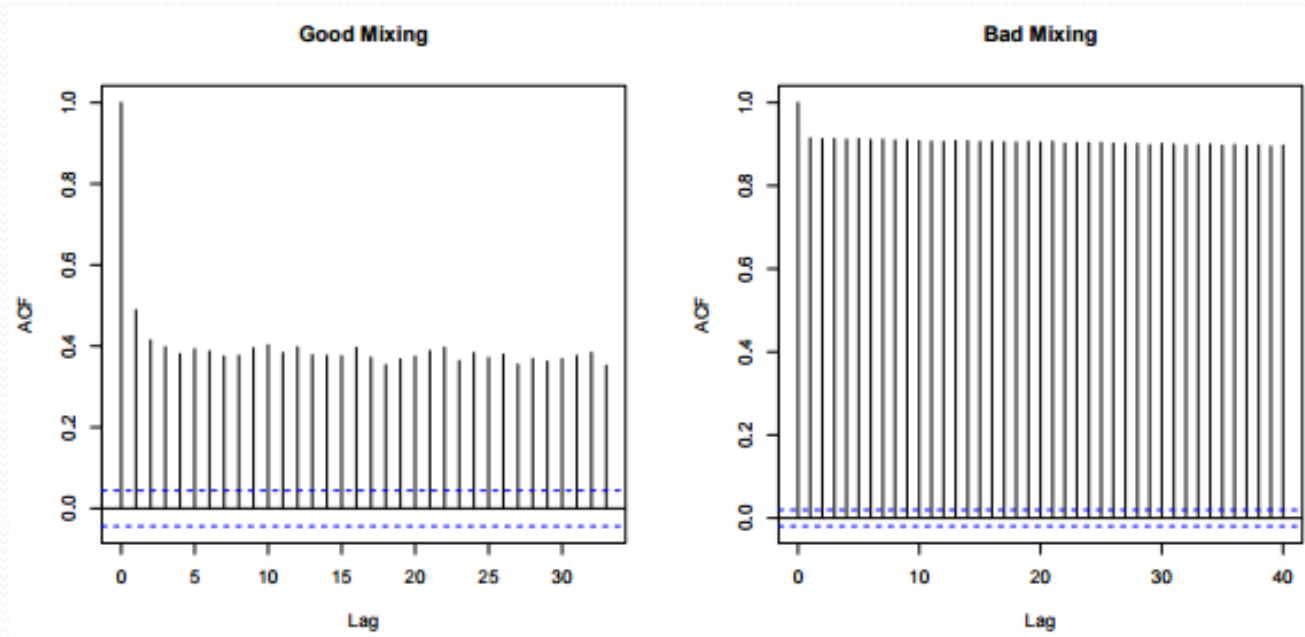
# Ocena jakości modeli (CODA)

- Autokorelacje, mieszanie, inspekcja wizualna



# Ocena jakości modeli (CODA)

- Autokorelacje, mieszanie, inspekcja wizualna



# Ocena jakości modeli (CODA)

- Test Geweke – średnie z dwóch nie przecinających się części łańcucha (pierwsze 0.1 i ostatnie 0.5 łańcucha) nie powinny się różnić statystycznie (Z-score)

$$z = \frac{\bar{\theta}_a - \bar{\theta}_b}{\sqrt{Var(\theta_a) + Var(\theta_b)}}$$

- Analogicznie możemy porównywać histogramy/qqplot



# Ocena jakości modeli (CODA)

- Gelman-Rubin
  - m łańcuchów, n próbek
  - Test ANOVA (wariancja między łańcuchami do wariancji wewnątrz łańcuchów),  $R_{\text{hat}} < 1.1$

$$B = \frac{n}{m-1} \sum_{j=1}^m (\bar{\theta}_{.j} - \bar{\theta}_{..})^2$$
$$W = \frac{1}{m} \sum_{j=1}^m \left[ \frac{1}{n-1} \sum_{i=1}^n (\theta_{ij} - \bar{\theta}_{.j})^2 \right]$$

$$\hat{\text{Var}}(\theta|y) = \frac{n-1}{n} W + \frac{1}{n} B$$

$$\hat{R} = \sqrt{\frac{\hat{\text{Var}}(\theta|y)}{W}}$$

# Ocena jakości modeli (CODA)

- Efektywny rozmiar próbki

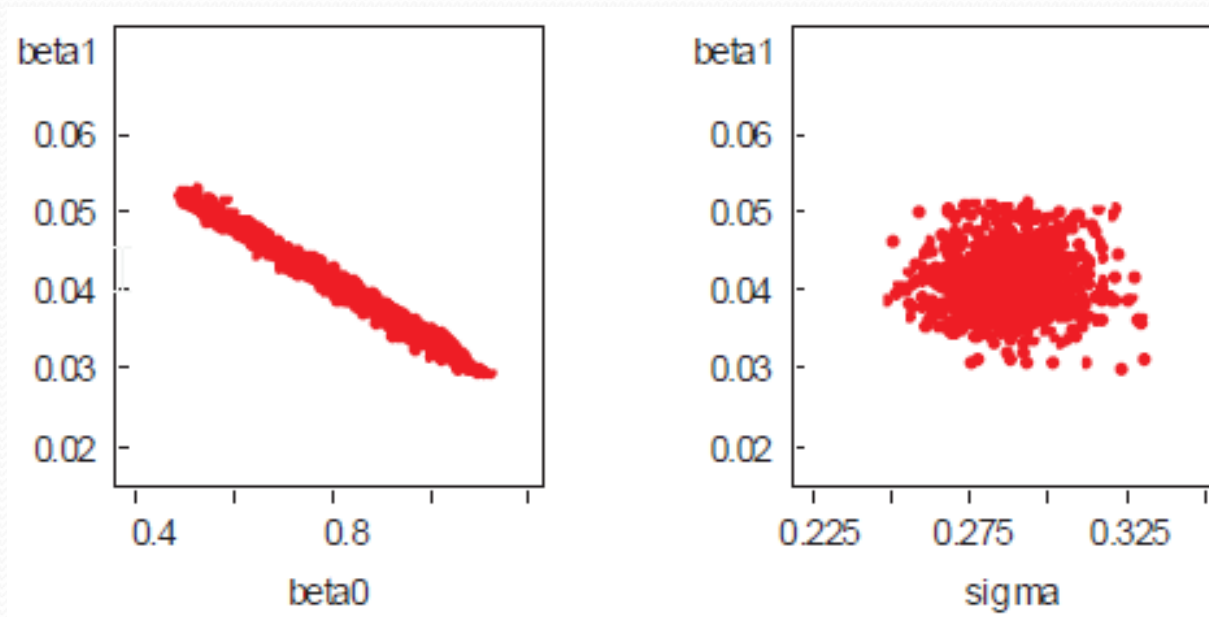
$$n_{\text{eff}} = n / (1 + (n-1)\rho)$$

- Dokładność średnich  $\sigma_e = \sigma_m / \sqrt{n}$

- $n_{\text{eff}} \sim 400$

# Ocena jakości modeli (CODA)

- Korelacje wzajemne między parametrami





# Ocena jakości modeli (CODA)

## DIC

- Deviance (czy dane pasują do modelu, wyznaczane dla rozkładu aposteriori):

$$D(\theta) = -2 \log p(Y | \theta);$$

- Kryterium informacyjne  
(DIC - kwadratowe przybliżenie  $D(\theta)$ ):

$$AIC = D(\hat{\theta}) + 2p$$

$$DIC = D(\bar{\theta}) + 2p_D$$

- Efektywna liczba parametrów  $p_D$  (w sensie AIC)

# Ocena jakości modeli (CODA)

## Predictive distribution

- Generowanie danych przy użyciu dopasowanego modelu, rozkład aposteriori dla prognozy:

$$p(\bar{y}|y) = \int p(\bar{y}|\theta) f(\theta|y) d\theta$$

- Rozbieżność, Bayesian p-value

$$p = Pr[D(x_{\text{sim}}|\theta) > D(x_{\text{obs}}|\theta)]$$

- Wartości odstające, cross-validation

# Ocena jakości modeli

## Wykrywanie wartości odstających

```
set.seed(123)
df<-data.frame(y=c(rnorm(10,10,1),4))

model <- list(
  model = function()
  {
    alpha ~ dnorm(0,1E-8)

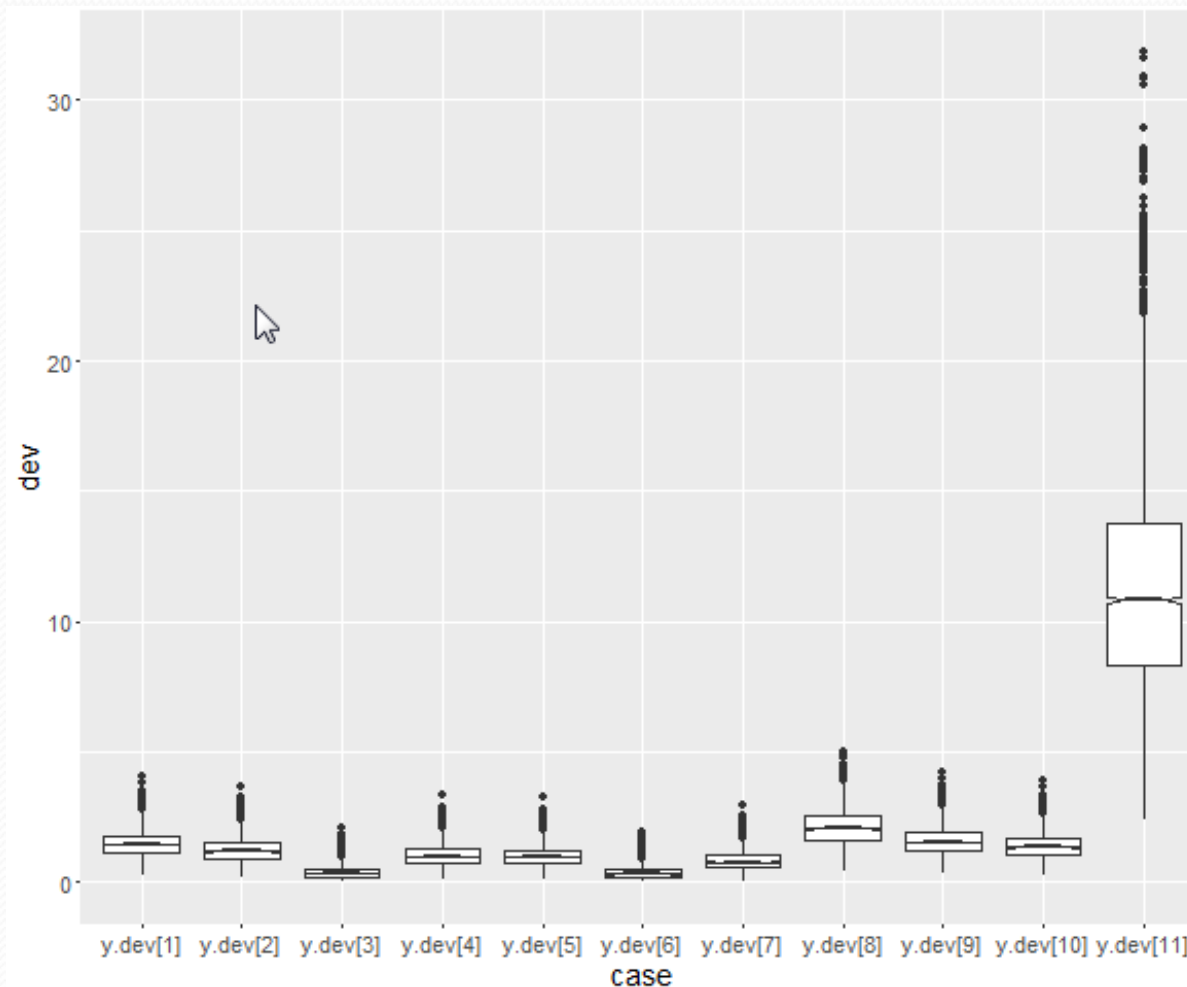
    logSigma ~ dunif( -4 , 4 )
    sigma <- pow( 10, logSigma)
    tau <- pow(sigma,-2)

    for( i in 1:length(y))
    {
      y[i] ~ dnorm(alpha,tau)
      y.dev[i] <- -2*log(pnorm(y[i],alpha,tau))
    }
  },
  data = list(y=df$y),
  parameters = c("alpha","sigma","y.dev"),
  inits = NULL )
```



# Ocena jakości modeli

## Wykrywanie wartości odstających



# Ocena jakości modeli

## Testowanie zgodności rozkładów

```
alpha ~ dnorm(0,1E-8)
```

```
logsigma ~ dunif( -4 , 4 )
```

```
sigma <- pow( 10, logsigma)
```

```
tau <- pow(sigma,-2)
```

```
for( i in 1:length(y))
```

```
{
```

```
  y[i] ~ dnorm(alpha,tau)
```

```
  y.sim[i] ~ dnorm(alpha,tau)
```

```
}
```

```
mu <- mean(y[])
```

```
s <- sd(y[])
```

```
mu.sim <- mean(y.sim[])
```

```
s.sim <- sd(y.sim[])
```

```
for( i in 1:length(y))
```

```
{
```

```
  m4[i] <- pow((y[i]-mu)/s,4)
```

```
  m4.sim[i] <- pow((y.sim[i] - mu.sim)/ifelse(s.sim<=0,1,s.sim),4)
```

```
}
```

```
kurt <- mean(m4[])
```

```
kurt.sim <- ifelse(s.sim<0,-1000,mean(m4.sim[]))
```

```
p.val <- step(kurt.sim-kurt)
```

```
df<-data.frame(y=c(rcauchy(20,10,1)))
```

	mu.vect	sd.vect
alpha	9.803	0.934
kurt	4.418	0.000
kurt.sim	2.452	0.695
p.val	0.019	0.136
sigma	4.164	0.716
deviance	113.156	2.057



# Dalsze tematy

- Approximated Bayesian Computation (ABC)
- Probabilistic Programming Languages (Edward, PyMC3)
- Deep Bayesian Learning